



ΠΑΝΕΠΙΣΤΗΜΙΟ ΔΥΤΙΚΗΣ ΜΑΚΕΔΟΝΙΑΣ
ΤΜΗΜΑ ΜΗΧΑΝΙΚΩΝ ΠΛΗΡΟΦΟΡΙΚΗΣ ΚΑΙ ΤΗΛΕΠΙΚΟΙΝΩΝΙΩΝ

*Υλοποίηση και Πειραματική Σύγκριση Δύο Γενικών Αλγορίθμων
Συνέπειας Τόξου (Arc Consistency)*

ΔΙΠΛΩΜΑΤΙΚΗ ΕΡΓΑΣΙΑ
του
ΔΑΜΙΑΝΟΥ Α. ΜΕΤΙΚΑΡΙΔΗ

Επιβλέπων: Κωνσταντίνος Στεργίου
Επίκουρος Καθηγητής Π.Δ.Μ.

Κοζάνη, Μάρτιος 2014



Πανεπιστήμιο Δυτικής Μακεδονίας
Τμήμα Μηχανικών Πληροφορικής και Τηλεπικοινωνιών

***Υλοποίηση και πειραματική σύγκριση δύο γενικών αλγορίθμων
συνέπειας τόξου (arc consistency)"***

ΔΙΠΛΩΜΑΤΙΚΗ ΕΡΓΑΣΙΑ

του

ΔΑΜΙΑΝΟΥ Α. ΜΕΤΙΚΑΡΙΔΗ

Επιβλέπων: Κωνσταντίνος Στεργίου

Επίκουρος Καθηγητής Π.Δ.Μ.

Εγκρίθηκε από την εξεταστική επιτροπή την 19η Μαρτίου 2014.

(Υπογραφή)

(Υπογραφή)

.

.....

.....

Κ. Στεργίου

Π. Αγγελίδης

Επ. Καθηγητής Π.Δ.Μ.

Επ. Καθηγητής Π.Δ.Μ.

Κοζάνη, Μάρτιος 2014



Πανεπιστήμιο Δυτικής Μακεδονίας
Τμήμα Μηχανικών Πληροφορικής και Τηλεπικοινωνιών

Copyright © -All rights reserved Δαμιανός Α. Μετκαρίδης
Με επιφύλαξη παντός δικαιώματος.

Απαγορεύεται η αντιγραφή, αποθήκευση και διανομή της παρούσας εργασίας, εξ' ολοκλήρου ή τμήματος αυτής, για εμπορικό σκοπό. Επιτρέπεται η ανατύπωση, αποθήκευση και διανομή για σκοπό μη κερδοσκοπικό, εκπαιδευτικής ή ερευνητικής φύσης, υπό την προϋπόθεση να αναφέρεται η πηγή προέλευσης και να διατηρείται το παρόν μήνυμα. Ερωτήματα που αφορούν τη χρήση της εργασίας για κερδοσκοπικό σκοπό πρέπει να απευθύνονται προς τον συγγραφέα.

(Υπογραφή)

.....

Δαμιανός Α. Μετκαρίδης

Διπλωματούχος Μηχανικός Πληροφορικής και Τηλεπικοινωνιών ΠΔΜ

© 2013-2014 – All rights reserved

Ευχαριστίες

Από την πρώτη στιγμή της ένταξης μου στη Σχολή ,ο αγώνας για μόρφωση και γνώση ήταν σκληρός και ανελλιπής. Άπειρες ώρες δαπανήθηκαν στο διάβασμα για τις εξεταστικές περιόδους και για την ολοκλήρωση των απαραίτητων εργασιών εξαμήνου. Η εκπόνηση αυτής της διπλωματικής εργασίας είναι η τελευταία και τελική υποχρέωση που οφείλω να φέρω εις πέρας για να κερδίσω τον τίτλο του “Μηχανικού Πληροφορικής & Τηλεπικοινωνιών”. Είναι πλέον βέβαιο ότι δεν θα κατάφερνα ποτέ να φτάσω ως εδώ χωρίς την καθοριστική συμβολή συγκεκριμένων παραγόντων ,προσώπων και γεγονότων καθ’όλην αυτήν την μακρά πορεία μου.

Θα ήθελα λοιπόν καταρχήν να ευχαριστήσω Τον Θεό που με εξόπλισε με μεγάλα αποθέματα ψυχικής αντοχής, θέλησης και αφοσίωσης ,τα οποία αποδείχθηκαν ιδιαίτερα χρήσιμα όλες τις στιγμές που μελετούσα για τις εξεταστικές καθώς και για την διεκπεραίωση των εργασιών που οι καθηγητές μου ανέθεταν .Κυρίως όμως Τον ευχαριστώ γιατί με εξόπλισε με αγάπη για την γνώση και το αντικείμενο το οποίο σπούδασα.

Θα ήθελα επίσης να ευχαριστήσω όλους τους καθηγητές που τα τελευταία 5 χρόνια μου δίδαξαν το αντικείμενο του Μηχανικού Πληροφορικής και Τηλεπικοινωνιών .Με κάποιους από αυτούς είχαμε άριστη συνεργασία και σχέσεις και πραγματικά είμαι ευτυχής που τους συνάντησα στην φοιτητική μου καριέρα. Για κάποιους άλλους όμως έχω πολλά παράπονα να εκφράσω. Εν πάσει περιπτώσει όμως τους ευχαριστώ, γιατί όλοι τους προσπάθησαν να είναι κάνουν σωστά την δουλειά τους.

Όσον αφορά την παρούσα διπλωματική εργασία θα ήθελα να εκφράσω τις θερμές ευχαριστίες μου στον κύριο Κ. Στεργίου για την επίβλεψη του και για την ευκαιρία που μου έδωσε να ασχοληθώ περαιτέρω με το αντικείμενο της Τεχνητής Νοημοσύνης . Ήταν πάντα διαθέσιμος να μου προσφέρει τις γνώσεις και την εμπειρία του για τη βαθύτερη κατανόηση της περιοχής αυτού του αντικειμένου και ήταν πολύ συνεργάσιμος και βοηθητικός σε κάθε μου πρόταση και απορία.

Επίσης θέλω να ευχαριστήσω τους φίλους και συναδέλφους μου, τους οποίους γνώρισα κατά την φοιτητική μου καριέρα , επειδή με την συντροφικότητα και την παρέα τους

συνέβαλλαν αποτελεσματικά ώστε τα φοιτητικά μου χρόνια να γίνουν ίσως, οι καλύτερες αναμνήσεις που είχα στην μέχρι τώρα ζωή μου.

Σε αυτό το σημείο θέλω να αναφέρω και να ευχαριστήσω ανθρώπους, εκτός του στενού ακαδημαϊκού περιβάλλοντος, που υπήρξαν σημαντικοί παράγοντες στην ανάπτυξη του ατόμου μου, δηλαδή τους συγγενείς ,την οικογένεια και τους γονείς μου . Οι τελευταίοι, με γαλούχησαν με αγάπη και αφοσίωση ώστε να γίνω ο άνθρωπος που είμαι σήμερα. Τους ευχαριστώ για την οικονομική στήριξη που μου παρείχαν για να σπουδάσω, στερούμενοι κατ'αυτόν τον τρόπο τις ανέσεις τους και ιδιαίτερα την μητέρα μου Δέσποινα, στην οποία επιθυμώ να αφιερώσω την παρούσα εργασία.

Περίληψη

Το αντικείμενο αυτής της διπλωματικής εργασίας είναι η συνέπεια τόξου σε δυαδικά προβλήματα ικανοποίησης περιορισμών με την χρήση των αλγορίθμων AC-3 και AC-4. Τα προβλήματα ικανοποίησης περιορισμών είναι προβλήματα αναζήτησης με ιδιαίτερα χαρακτηριστικά που τα διαφοροποιούν από τα τυπικά προβλήματα αναζήτησης. Ανήκουν σε μια σημαντική υποκατηγορία της Τεχνητής Νοημοσύνης.

Ο στόχος της παρούσας διπλωματικής εργασίας είναι η υλοποίηση και έπειτα η πειραματική σύγκριση δύο αλγορίθμων επίτευξης συνέπειας τόξου, των AC-3 (Arc Consistency 3 Alan Mackworth, 1977) και AC-4 (Arc Consistency 4 Mohr & Henderson, 1986). Η υλοποίηση των δύο αυτών αλγορίθμων έγινε προγραμματιστικά, με την χρήση της γλώσσας προγραμματισμού Java. Η πειραματική σύγκριση έγινε με την βοήθεια κάποιων δεδομένων προβλημάτων με περιορισμούς τα οποία χρησιμοποιήθηκαν ως δεδομένα εισόδου για τους παραπάνω αλγορίθμους. Τα αποτελέσματα που παράγαγε η χρήση αυτών προβλημάτων σε συνδυασμό με τους αλγορίθμους είναι ικανά και αρκετά για να έχουμε μια έγκυρη πειραματική σύγκριση.

Τα κύρια συμπεράσματα της εργασίας αφορούν την αποτελεσματικότητα, και την αποδοτικότητα των αλγορίθμων. Η τελευταία θα αξιολογηθεί με κριτήρια την χωρική αλλά και την χρονική πολυπλοκότητα.

Όσον αφορά λοιπόν την αποτελεσματικότητα των αλγορίθμων, τα αποτελέσματα της εργασίας επιβεβαιώνουν ότι και οι δύο αλγόριθμοι διαγράφουν ακριβώς τις ίδιες τιμές από τα πεδία τιμών των μεταβλητών που συμμετέχουν στους περιορισμούς.

Όσον αφορά την αποδοτικότητα της χωρικής πολυπλοκότητας, με βάση τα αποτελέσματα της εκτέλεσης των αλγορίθμων μπορούμε να πούμε ότι ο αλγόριθμος AC-3 πετυχαίνει πάντα καλύτερα αποτελέσματα επιβεβαιώνοντας τον ισχυρισμό της χωρικής ανάλυσης που θέλει τον αλγόριθμο AC-3 να έχει $O(e)$ χωρική πολυπλοκότητα έναντι $O(ed^2)$ για τον AC-4.

Όσον αφορά την αποδοτικότητα της χρονικής πολυπλοκότητας, παρά το γεγονός ότι με βάση την χρονική ανάλυση ο αλγόριθμος AC-3 έχει χρόνο χειρότερης εκτέλεσης $O(ed^3)$ ενώ ο AC-4 έχει $O(ed^2)$ (όπου e ο αριθμός των περιορισμών και d ο αριθμός των τιμών του

μέγιστου πεδίου ορισμού), αποδείχθηκε ότι ο αλγόριθμος AC-3 καταναλώνει λιγότερο χρόνο εκτέλεσης για τα προβλήματα που έχουν λίγες μεταβλητές και μικρό μέγιστο πεδίο ορισμού σε σύγκριση με τον AC-4. Επίσης ο αλγόριθμος AC-3 πετυχαίνει καλύτερα αποτελέσματα όταν χρησιμοποιείται σε προβλήματα που παρουσιάζουν εξ αρχής συνέπεια τόξου, ή είναι εξ αρχής κοντά στην συνέπεια τόξου, οπότε και οι τελικές διαγραφές τιμών είναι λίγες. Ωστόσο για τα προβλήματα με μεγάλο αριθμό μεταβλητών και μέγιστου πεδίου ορισμού που βρίσκονται εξ αρχής μακριά από την συνέπεια τόξου, οπότε και ο αλγόριθμος AC-4 πραγματοποιεί πολλές διαγραφές τιμών, τα αποτελέσματα της χρονικής ανάλυσης επιβεβαιώνονται περίτρανα και γίνεται φανερό ότι ο αλγόριθμος AC-4 πετυχαίνει καλύτερα χρονικά αποτελέσματα από τον AC-3.

Abstract

The topic of this diploma thesis is achieving arc consistency in binary constraint satisfaction problems by using the AC-3 and AC-4 algorithms. Constraint satisfaction problems are search problems with particular characteristics ,which differentiate them from typical search problems. They belong to an important subclass of Artificial Intelligence.

The purpose of this diploma thesis is to implement and then to experimentally compare two arc consistency algorithms; AC-3, (Arc Consistency 3, credited to Alan Mackworth, 1977) and AC-4 (Arc Consistency 4, credited to Mohr & Henderson ,1986). The implementation of these algorithms was done using the Java programming language. The experimental comparison was done using some constraint problems as data input to the algorithms named above. The results produced by the use of these problems in combination with the algorithms are capable and sufficient to achieve an accurate experimental comparison.

The main conclusions from this diploma thesis concern the effectiveness and the efficiency of these algorithms. The latter will be evaluated using space and time complexity as our main criteria.

Concerning the effectiveness of the algorithms, all execution results confirm that both algorithms are capable of achieving the exact same local consistency by deleting the same values from the domain of the variables which participate in the constraints.

Concerning space complexity efficiency ,based on the execution results, we can claim that the AC-3 algorithm can achieve better results, confirming the assertion of space complexity that AC-3 has a $O(e)$ space complexity versus $O(ed^2)$ for AC-4.

With respect to time complexity efficiency, despite the fact that time analysis gives to AC-3 a time complexity of $O(ed^3)$ whereas AC-4 has a time complexity of $O(ed^2)$ (where “e” stands for the number of constraints and “d” is the number of values that the biggest domain has), it is proved that the AC-3 algorithm uses less time to execute when problems with a small number of variables and a small maximum domain are given as input ,compared to AC-4. Furthermore the AC-3 algorithm achieves better time results when it is used on problems which are arc consistent or which are close to arc consistency from the beginning,

thus only a few value deletions are finally made by the algorithm. Never the less, the results of time complexity are to be soundly confirmed for problems with a large number of variables and a large maximum domain, especially when these problems are from the beginning far from arc consistency, thus the AC-4 algorithm will finally delete many values. In such cases it becomes obvious that the AC-4 algorithm can achieve better time results than the AC-3 algorithm.

Περιεχόμενα

Ευχαριστίες	1
Περίληψη	3
Abstract	5
Περιεχόμενα	7
Κατάλογος Σχημάτων	10
Κατάλογος Πινάκων	13
1. Εισαγωγή	15
1.1 Συμβολή Διπλωματικής Εργασίας.....	16
1.2 Οργάνωση Τόμου.....	16
2. Προβλήματα Ικανοποίησης Περιορισμών (CSP)	19
2.1 Ορισμός ,Κατηγορίες και Χαρακτηριστικά των CSP	19
2.2 Στόχος και Επίλυση των CSP	21
2.2 Παράδειγμα ενός CSP	22
2.3 Εφαρμογές Μοντέλου CSP	24
3. Συνέπεια Τόξου	26
3.1 Ορισμός Συνέπειας Τόξου	26
3.2 Τι είναι Συνέπεια Τόξου ,Που και Πότε Εφαρμόζεται.....	26
3.3 Παράδειγμα Ελέγχου Συνέπειας Τόξου.....	27
3.3.1 Ένα Διαισθητικό Παράδειγμα.....	28
3.4 Συνέπεια Τόξου και Τοπική Συνέπεια.....	28
4. Ο Αλγόριθμος AC-3	31
4.1 Ο Τρόπος λειτουργίας	31
4.2 Ο Ψευδοκώδικας.....	32

4.3 Ανάλυση του AC-3.....	34
4.3.1 Απόδειξη Χρονικής Πολυπλοκότητας.....	34
4.3.1 Απόδειξη Χωρικής Πολυπλοκότητας.....	34
4.4 Παράδειγμα Εκτέλεσης	35
4.5 Παραλλαγή του AC-3.....	36
5. Ο Αλγόριθμος AC-4.....	38
5.1 Ο Τρόπος λειτουργίας	38
5.2 Ο Ψευδοκώδικας.....	39
5.3 Ανάλυση του AC-4.....	41
5.4 Παράδειγμα Εκτέλεσης	42
5.5 Ελάττωμα του AC-4.....	43
5.6 Fine-Grained VS Coarse-Grained Algorithms.....	43
6. Προγραμματιστική Υλοποίηση.....	45
6.1 Υλοποίηση Αλγορίθμων.....	45
6.1.1 Γενική Περιγραφή Λειτουργίας Προγράμματος.....	45
6.1.2 Οι Κλάσεις του Προγράμματος.....	46
6.2 Εκτέλεση Αλγορίθμων.....	48
6.2.1 Εκτέλεση σε μη Γραφικό Περιβάλλον.....	49
6.2.2 Εκτέλεση σε Γραφικό Περιβάλλον.....	53
6.3 Οι Δομές Δεδομένων των Αλγορίθμων.....	60
6.3.1 Οι Δομές Δεδομένων του AC-3.....	60
6.3.2 Οι Δομές Δεδομένων του AC-4.....	61
6.4 Στατιστικά Στοιχεία Εκτέλεσης.....	62
6.4.1 Τα Προβλήματα FRB.....	63
6.4.2 Τα Προβλήματα GEO.....	65
6.4.3 Τα Προβλήματα QCP.....	66
6.4.4 Τα Προβλήματα QWH.....	71
6.4.5 Τα Προβλήματα LANGFORD.....	74
6.4.6 Τα Προβλήματα COMPOSED.....	75
6.4.7 Τα Προβλήματα DRIVER.....	81
6.4.8 Τα Προβλήματα BLACKHOLE.....	82

6.4.9 Τα Προβλήματα HANOI.....	84
7.Συμπεράσματα.....	87
Βιβλιογραφία.....	90

Κατάλογος Σχημάτων

2.1.α: Δίκτυο περιορισμών όπου οι μεταβλητές είναι οι κόμβοι του δικτύου ,ενώ οι δυαδικοί περιορισμοί είναι οι ακμές του δικτύου.....	20
2.1.β: Δίκτυο περιορισμών όπου οι μεταβλητές είναι οι κόμβοι του δικτύου ,ενώ οι ν-αδικοί περιορισμοί είναι οι υπερακμές του δικτύου.....	20
2.3: Αναπαράσταση ενός CSP ως γράφο. Κάθε κόμβος αναπαριστά μια μεταβλητή και κάθε τόξο μεταξύ δύο μεταβλητών αναπαριστά έναν περιορισμό	23
4.1: Παράδειγμα εκτέλεσης αλγορίθμου AC-3.....	35
6.2.α: Έναρξη εκτέλεσης προγράμματος.....	48
6.2.β: Ολοκλήρωση εκτέλεσης προγράμματος.....	39
6.2.1.α: Παράδειγμα εκτέλεσης σε μη γραφικό περιβάλλον. Εντοπισμός αρχείων και εκτέλεση αλγορίθμου AC-3.....	50
6.2.1.β: Παράδειγμα εκτέλεσης σε μη γραφικό περιβάλλον. Εκτέλεση αλγορίθμων AC-3 ,AC-4.....	51
6.2.1.γ: Παράδειγμα εκτέλεσης σε μη γραφικό περιβάλλον. Ολοκλήρωση εκτέλεσης και προβολή στατιστικών στοιχείων.....	52
6.2.2.α: Παράδειγμα εκτέλεσης σε γραφικό περιβάλλον. Αρχική κατάσταση γραφικού περιβάλλοντος.....	55
6.2.2.β: Παράδειγμα εκτέλεσης σε γραφικό περιβάλλον. Ολοκλήρωση διαδικασίας εντοπισμού αρχείων ,με αλλαγμένο background και font color	56
6.2.2.γ: Παράδειγμα εκτέλεσης σε γραφικό περιβάλλον. Ενδιάμεσο σημείο διαδικασίας ελέγχου συνεπειών ,με αλλαγμένο background και font color.....	57
6.2.2.δ: Παράδειγμα εκτέλεσης σε γραφικό περιβάλλον. Ολοκλήρωση διαδικασίας ελέγχου συνεπειών ,με αλλαγμένο background και font color.....	58
6.2.2.ε: Παράδειγμα εκτέλεσης σε γραφικό περιβάλλον .Προβολή στατιστικών στοιχείων στο κάτω μέρος της εφαρμογής ,με αλλαγμένο background και font color.....	59
6.4.1.α: Στατιστικά στοιχεία εκτέλεσης προβλήματος frb35-17-0.....	64
6.4.1.β: Στατιστικά στοιχεία εκτέλεσης προβλήματος frb53-24-0.....	64

6.4.2.α: Στατιστικά στοιχεία εκτέλεσης προβλήματος geo50-20-d4-75-5_ext.....	66
6.4.2.β: Στατιστικά στοιχεία εκτέλεσης προβλήματος geo50-20-d4-75-10_ext.....	66
6.4.3.α: Στατιστικά στοιχεία εκτέλεσης προβλήματος qcp-10-67-0_ext.....	70
6.4.3.β: Στατιστικά στοιχεία εκτέλεσης προβλήματος qcp-15-120-0_ext.....	70
6.4.4.α: Στατιστικά στοιχεία εκτέλεσης προβλήματος qwh-20-166-0_ext.....	74
6.4.4.β: Στατιστικά στοιχεία εκτέλεσης προβλήματος qwh-25-235-9_ext.....	74

Κατάλογος Πινάκων

Πίνακας 6.4.1.α: Στατιστικά στοιχεία εκτέλεσης προβλημάτων frb.....	63
Πίνακας 6.4.2.α: Στατιστικά στοιχεία εκτέλεσης προβλημάτων geo.....	65
Πίνακας 6.4.3.α: Στατιστικά στοιχεία εκτέλεσης προβλημάτων qcr_1.	67
Πίνακας 6.4.3.β: Στατιστικά στοιχεία εκτέλεσης προβλημάτων qcr_2.	68
Πίνακας 6.4.3.γ: Στατιστικά στοιχεία εκτέλεσης προβλημάτων qcr_3.	68
Πίνακας 6.4.3.δ: Στατιστικά στοιχεία εκτέλεσης προβλημάτων qcr_4.	69
Πίνακας 6.4.4.α: Στατιστικά στοιχεία εκτέλεσης προβλημάτων qwh_1.	71
Πίνακας 6.4.4.β: Στατιστικά στοιχεία εκτέλεσης προβλημάτων qwh_2.	72
Πίνακας 6.4.4.γ: Στατιστικά στοιχεία εκτέλεσης προβλημάτων qwh_3.	72
Πίνακας 6.4.4.δ: Στατιστικά στοιχεία εκτέλεσης προβλημάτων qwh_4.	73
Πίνακας 6.4.5.α: Στατιστικά στοιχεία εκτέλεσης προβλημάτων langford.	75
Πίνακας 6.4.6.α: Στατιστικά στοιχεία εκτέλεσης προβλημάτων composed_1.....	76
Πίνακας 6.4.6.β: Στατιστικά στοιχεία εκτέλεσης προβλημάτων composed_2.....	77
Πίνακας 6.4.6.γ: Στατιστικά στοιχεία εκτέλεσης προβλημάτων composed_3.	77
Πίνακας 6.4.6.δ: Στατιστικά στοιχεία εκτέλεσης προβλημάτων composed_4.	77
Πίνακας 6.4.6.ε: Στατιστικά στοιχεία εκτέλεσης προβλημάτων composed_5.	78
Πίνακας 6.4.6.στ: Στατιστικά στοιχεία εκτέλεσης προβλημάτων composed_6.	79
Πίνακας 6.4.6.ζ: Στατιστικά στοιχεία εκτέλεσης προβλημάτων composed_7.	79
Πίνακας 6.4.6.η: Στατιστικά στοιχεία εκτέλεσης προβλημάτων composed_8.	80
Πίνακας 6.4.6.θ: Στατιστικά στοιχεία εκτέλεσης προβλημάτων composed_9.	80
Πίνακας 6.4.7.α: Στατιστικά στοιχεία εκτέλεσης προβλημάτων driver.	81
Πίνακας 6.4.8.α: Στατιστικά στοιχεία εκτέλεσης προβλημάτων blackhole_1.	82
Πίνακας 6.4.8.β: Στατιστικά στοιχεία εκτέλεσης προβλημάτων blackhole_2.	83
Πίνακας 6.4.8.γ: Στατιστικά στοιχεία εκτέλεσης προβλημάτων blackhole_3.	83
Πίνακας 6.4.9.α: Στατιστικά στοιχεία εκτέλεσης προβλημάτων hanoi.	84

Κεφάλαιο 1

Εισαγωγή

Το αντικείμενο αυτής της διπλωματικής εργασίας είναι η συνέπεια τόξου σε δυαδικά προβλήματα ικανοποίησης περιορισμών με την χρήση των αλγορίθμων AC-3 και AC-4. Τα προβλήματα ικανοποίησης περιορισμών είναι σημαντικά για την Τεχνητή Νοημοσύνη επειδή πολλά προβλήματα αναζήτησης, όπως για παράδειγμα ο χρωματισμός γράφων, πολλά λογικά παζλ, η σχεδίαση και ο προγραμματισμός εργασιών, μπορούν να αναπαρασταθούν ως προβλήματα ικανοποίησης περιορισμών όπου η λύση σε αυτά τα προβλήματα πρέπει να ικανοποιεί συγκεκριμένους περιορισμούς.

Παραδοσιακά τέτοιου είδους προβλήματα επιλύονται με την μέθοδο της οπισθοδρομικής αναζήτησης “backtrack search”, ωστόσο αυτή η μέθοδος από μόνη της δεν είναι καθόλου αποδοτική. Γι’αυτό έχουν εισαχθεί πολλές μέθοδοι ελέγχου συνέπειας, οι οποίες συνδυάζονται με την μέθοδο της οπισθοδρομικής αναζήτησης. Έτσι η αποδοτικότητα βελτιώνεται σημαντικά.

Αυτές οι τεχνικές αποσκοπούν στο να μειώσουν όσο το δυνατόν περισσότερο τον χώρο αναζήτησης ενός προβλήματος ικανοποίησης περιορισμών. Για να επιτύχουν κάτι τέτοιο εξετάζουν την ικανοποίηση κάποιων συνδυασμών περιορισμών έτσι ώστε να διαγραφούν όλες οι τιμές των μεταβλητών που συμμετέχουν σε έναν περιορισμό και δεν ικανοποιούν τους συνδυασμούς περιορισμών που εξετάζει η συγκεκριμένη τεχνική. Για παράδειγμα κάποιες από αυτές τις τεχνικές είναι η συνέπεια διαδρομής (path consistency), η συνέπεια κόμβου (node consistency), η συνέπεια τόξου (arc consistency). Στην παρούσα διπλωματική εργασία θα ασχοληθούμε μόνο με την τελευταία που είναι και η πιο σημαντική. Έτσι λοιπόν οι αλγόριθμοι AC-3 και AC-4 με τους οποίους θα ασχοληθούμε αποκλειστικά, είναι αλγόριθμοι που επιτυγχάνουν τέτοιου είδους συνέπεια.

Στόχος μας σε αυτήν την διπλωματική εργασία θα είναι να υλοποιήσουμε προγραμματιστικά αυτούς τους δύο αλγορίθμους, χρησιμοποιώντας την γλώσσα προγραμματισμού Java και στην συνέχεια να συγκρίνουμε τις επιδόσεις τους χρησιμοποιώντας ως είσοδο

κάποια προβλήματα με περιορισμούς τα οποία θα τρέξουμε και έπειτα θα συγκρίνουμε τα αποτελέσματα μελετώντας την αποτελεσματικότητα και την χωρική-χρονική αποδοτικότητα των αλγορίθμων.

1.1 Συμβολή Διπλωματικής Εργασίας

Το ευρύτερο πλαίσιο στο οποίο εντάσσεται η εν λόγω εργασία είναι εκείνο των προβλημάτων ικανοποίησης περιορισμών και στην χρήση των αλγορίθμων AC-3 & AC-4 οι οποίοι είναι τεχνικές επίτευξης συνέπειας τόξου.

Η συμβολή της παρούσας διπλωματικής εργασίας μπορεί να συνοψισθεί στα εξής δύο σημεία:

Στο πρώτο μέρος της εργασίας, μέχρι και το κεφάλαιο 6, παρουσιάζεται μια θεωρητική αναφορά η οποία καλύπτει τις βασικές έννοιες που θα πρέπει κανείς να γνωρίζει για να μελετήσει κατά βάθος τους αλγορίθμους και να κατανοήσει τα συμπεράσματα που προέκυψαν από την εκτέλεση αυτών. Συγκεκριμένα δίνεται ο εκτενής ορισμός των προβλημάτων ικανοποίησης περιορισμών ,με όσες λεπτομέρειες κρίνονται απαραίτητες. Επίσης δίνεται ο εκτενής ορισμός της έννοιας «συνέπεια τόξου» καθώς και το πώς αυτή σχετίζεται με τα προβλήματα ικανοποίησης περιορισμών. Στη συνέχεια παρατίθεται ο αλγόριθμος AC-3 και ο αλγόριθμος AC-4 οι οποίοι συνοδεύονται από τον ψευδοκώδικα, τον τρόπο λειτουργίας ,τις καινοτομίες ,την ανάλυση πολυπλοκότητας και τα πλεονεκτήματα-μειονεκτήματα αυτών.

Στο δεύτερο μέρος της εργασίας, κεφάλαια 7-8, παρουσιάζεται η υλοποίηση και τα αποτελέσματα των αλγορίθμων. Πιο συγκεκριμένα , παρουσιάζεται η εκτέλεση των αλγορίθμων σε μη γραφικό περιβάλλον καθώς επίσης και σε γραφικό περιβάλλον. Στη συνέχεια δίνεται η περιγραφή των δομών δεδομένων που χρησιμοποιήθηκαν κατά την προγραμματιστική υλοποίηση των αλγορίθμων AC-3 και AC-4. Έπειτα ακολουθούν τα στατιστικά στοιχεία που προέκυψαν από την εκτέλεση των αλγορίθμων και τέλος τα συμπεράσματα της εκτέλεσης τα οποία είναι και τα τελικά συμπεράσματα για τους αλγορίθμους.

1.2 Οργάνωση Τόμου

Η εργασία αυτή είναι οργανωμένη σε επτά κεφάλαια:

- 1. Στο πρώτο κεφάλαιο παρατίθεται η εισαγωγή για την διπλωματική εργασία.
- 2. Στο δεύτερο κεφάλαιο αναφέρονται και αναλύονται ορισμένα από τα βασικά χαρακτηριστικά των προβλημάτων ικανοποίησης περιορισμών.
- 3. Στο τρίτο κεφάλαιο ορίζεται διεξοδικά η έννοια της συνέπειας τόξου.
- 4. Στο τέταρτο κεφάλαιο ορίζεται και αναλύεται ο αλγόριθμος AC-3.
- 5. Στο πέμπτο κεφάλαιο ορίζεται και αναλύεται ο αλγόριθμος AC-4.
- 6. Στο έκτο κεφάλαιο παρουσιάζεται αναλυτικά η εκτέλεση των αλγορίθμων σε γραφικό και μη γραφικό περιβάλλον, οι δομές δεδομένων που χρησιμοποιούν οι δυο παραπάνω αλγόριθμοι και τα στατιστικά στοιχεία που εξήχθησαν από την εκτέλεση των αλγορίθμων.
- 7. Στο έβδομο και τελευταίο κεφάλαιο παρουσιάζονται τα τελικά συμπεράσματα που προέκυψαν από την εκτέλεση των αλγορίθμων.

Κεφάλαιο 2

Προβλήματα Ικανοποίησης Περιορισμών (CSP)

Στο τρέχον κεφάλαιο της εργασίας παρουσιάζονται συνοπτικά ο ορισμός, οι κατηγορίες και τα χαρακτηριστικά των προβλημάτων ικανοποίησης περιορισμών (Constraint Satisfaction Problems-CSP). Έπειτα γίνεται λόγος για τον ο τρόπο επίλυσης τους. Στη συνέχεια παραδίδεται ένα παράδειγμα τέτοιου προβλήματος. Τέλος δίνονται οι κατηγορίες των προβλημάτων τα οποία μπορούν να μοντελοποιηθούν ως προβλήματα ικανοποίησης περιορισμών.

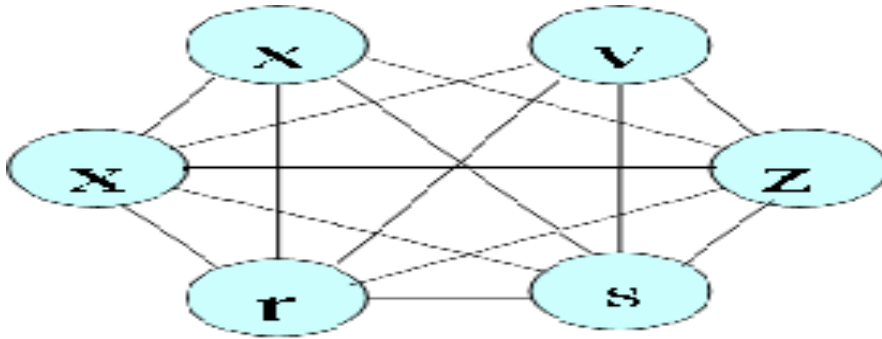
2.1 Ορισμός , Κατηγορίες και Χαρακτηριστικά των CSP.

Ένα πρόβλημα ικανοποίησης περιορισμών ορίζεται από τα εξής τρία χαρακτηριστικά: Ένα σύνολο μεταβλητών (variables) V_1, \dots, V_n . Ένα σύνολο πεδίων ορισμού (domains) D_1, \dots, D_k , ένα για κάθε μεταβλητή με τις πιθανές της (values). Ένα σύνολο περιορισμών (constraints) C_1, \dots, C_m , όπου κάθε περιορισμός περιλαμβάνει ένα υποσύνολο των μεταβλητών και προσδιορίζει τους επιτρεπούς συνδυασμούς τιμών για αυτό το υποσύνολο. Ένας n -αδικός (n-ary) περιορισμός C_i σε ένα σύνολο μεταβλητών V_1, \dots, V_k είναι ένα υποσύνολο του καρτεσιανού γινομένου $D_1 \times \dots \times D_k$

Τα προβλήματα ικανοποίησης περιορισμών χωρίζονται στις εξής κατηγορίες: αυτά που αποτελούνται από περιορισμούς οι οποίοι περιλαμβάνουν μόνο μια μεταβλητή (unary problems), για παράδειγμα $X > 5$. Αυτά που αποτελούνται από περιορισμούς οι οποίοι περιλαμβάνουν δύο μεταβλητές (binary problems), για παράδειγμα $X = Y + 5$. Και αυτά που αποτελούνται από περιορισμούς οι οποίοι περιλαμβάνουν περισσότερες των δύο μεταβλητών (n-ary problems), για παράδειγμα $X = Y - Z + 5$.

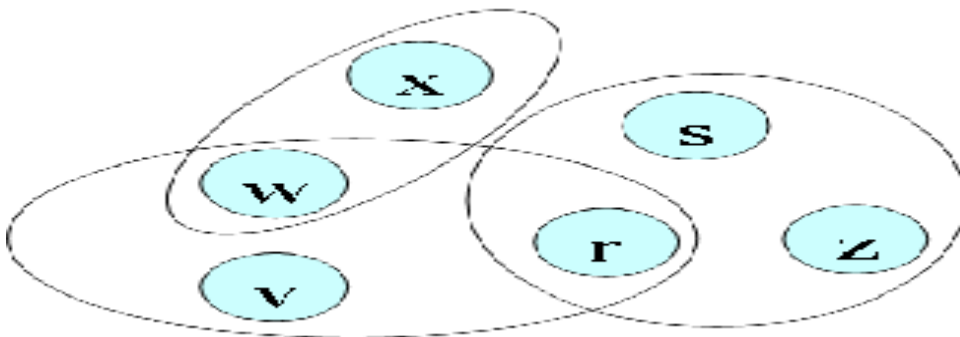
Κάθε δυαδικό πρόβλημα ικανοποίησης περιορισμών μπορεί να αναπαρασταθεί ως ένα γράφημα όπου οι μεταβλητές του προβλήματος αντιστοιχούν στους κόμβους του δικτύου, ενώ

οι δυαδικοί περιορισμοί μεταξύ των μεταβλητών είναι οι ακμές που ενώνουν τους κόμβους του δικτύου.



Σχήμα 2.1.α: Δίκτυο περιορισμών όπου οι μεταβλητές είναι οι κόμβοι του δικτύου ,ενώ οι δυαδικοί περιορισμοί είναι οι ακμές του δικτύου.

Κάθε n -δικό πρόβλημα ικανοποίησης περιορισμών μπορεί να αναπαρασταθεί ως ένα γράφημα όπου οι μεταβλητές του προβλήματος αντιστοιχούν στους κόμβους του δικτύου ,ενώ οι n -αδικοί περιορισμοί μεταξύ των μεταβλητών είναι οι υπερακμές που περιλαμβάνουν τους κόμβους του δικτύου.



Σχήμα 2.1.β: Δίκτυο περιορισμών όπου οι μεταβλητές είναι οι κόμβοι του δικτύου ,ενώ οι n -αδικοί περιορισμοί είναι οι υπερακμές του δικτύου.

Ένα CSP είναι ένα πρόβλημα αναζήτησης με ιδιαίτερα χαρακτηριστικά που το διαφοροποιούν από τα γενικά προβλήματα αναζήτησης. Συγκεκριμένα ο χώρος και το δέντρο

αναζήτησης είναι πεπερασμένα. Το ζητούμενο είναι να αναθέσουμε τιμές σε ένα σύνολο μεταβλητών ώστε να ικανοποιούνται κάποιοι περιορισμοί. Δε μας ενδιαφέρει το μονοπάτι προς τη λύση.

2.2 Στόχος και Επίλυση CSP.

Το ζητούμενο στα προβλήματα ικανοποίησης περιορισμών (constraint satisfaction problem – CSP) είναι να αναθέσουμε τιμές σε ένα σύνολο μεταβλητών έτσι ώστε να ικανοποιούνται όλοι οι περιορισμοί του προβλήματος. Οι περιορισμοί συμπεριλαμβάνουν συνδυασμούς μεταβλητών οι οποίες λαμβάνουν τιμές από επιτρεπτά πεδία ορισμού. Σε αυτήν την διπλωματική αυτά τα πεδία ορισμού είναι πάντα πεπερασμένα.

Ο πιθανός στόχος σε ένα τέτοιο πρόβλημα θα μπορούσε να είναι ένας από τους εξής: Η εύρεση μιας και μόνο λύσης στο πρόβλημα. Θα μπορούσε όμως να είναι και η εύρεση όλων των πιθανών λύσεων του προβλήματος. Επίσης θα μπορούσε να είναι η εύρεση μιας λύσης η οποία μεγιστοποιεί ή ελαχιστοποιεί κάποια ποσότητα (πρόβλημα βελτιστοποίησης). Τέλος θα μπορούσε να είναι η εύρεση μιας προσεγγιστικής λύσης στο πρόβλημα.

Η λύση ενός προβλήματος ικανοποίησης περιορισμών επιφέρεται με την ανάθεση μιας τιμής σε κάθε μεταβλητή έτσι ώστε να μην παραβιάζεται κανένας περιορισμός. Τα προβλήματα τα οποία έχουν πεπερασμένα πεδία ορισμού για τις μεταβλητές τους, όπως για παράδειγμα αυτά που θα εξετάσουμε στην παρούσα εργασία μπορούν να επιλυθούν με μια πληθώρα αλγορίθμων. Αυτοί οι αλγόριθμοι αν και σίγουρα θα βρουν την λύση, δεν εγγυώνται όλοι την ίδια αποδοτικότητα. Για παράδειγμα τέτοιοι αλγόριθμοι θα μπορούσαν να είναι οι παρακάτω:

1. Generate and test

Βρίσκει όλες τις τιμές οι οποίες θα μπορούσαν να είναι πιθανές λύσεις και τις δοκιμάζει κατά σειρά. Αν και αυτή είναι μια πολύ απλή brute force τεχνική, είναι πολύ χρονοβόρα και συνεπώς μη αποδοτική.

2. Depth-first search

Η αναζήτηση ξεκινά από την ρίζα του δέντρου και συνεχίζεται όσο πιο

μακριά είναι δυνατόν, κατεβαίνοντας πρώτα προς τα κάτω (κάθετη αναζήτηση στο δέντρο).

3. Οπισθοδρομική αναζήτηση- Backtrack search

Ένας γενικός αλγόριθμος για την εύρεση όλων ή κάποιων λύσεων ενός προβλήματος CSP, ο οποίος σταδιακά χτίζει μερικές λύσεις και τελικά εγκαταλείπει κάθε μερική λύση η οποία δεν μπορεί να είναι ουσιαστικά η λύση του προβλήματος (οπισθοδρόμηση). Ο χώρος αναζήτησης είναι μια δομή δέντρου όπου οι μεταβλητές του προβλήματος αντιπροσωπεύονται ως κόμβοι του δέντρου. Η αναζήτηση ξεκινάει από την ρίζα του δέντρου και επεκτείνεται προς τα κάτω με ένα βήμα κάθε φορά, αναθέτοντας τιμές στις μεταβλητές και ελέγχοντας έπειτα τους περιορισμούς μέχρι να φτάσει σε πλήρη λύση. Σε κάθε κόμβο, ο αλγόριθμος ελέγχει αν η συγκεκριμένη τιμή που δόθηκε στον κόμβο μπορεί να συμπεριληφθεί στην λύση. Αν δεν μπορεί τότε ο αλγόριθμος οπισθοδρομεί στην αμέσως προηγούμενη επιλογή του και δοκιμάζει μια άλλη τιμή για τη συγκεκριμένη μεταβλητή.

4.Arc Consistency

Η συνέπεια τόξου δεν εξασφαλίζει από μόνη της την λύση σε ένα πρόβλημα ικανοποίησης περιορισμών επειδή επιτυγχάνει τοπική συνέπεια και όχι ολική global consistency (global solution). Ωστόσο χρησιμοποιείται σε τέτοιου είδους προβλήματα ως προπαρασκευαστικό μέτρο με σκοπό να αφαιρεθούν όσο το δυνατόν περισσότερες τιμές από τα πεδία ορισμού των μεταβλητών, εφ'όσον αυτές οι τιμές δεν ικανοποιούν τους περιορισμούς του προβλήματος.

5.Depth-first search combined with arc consistency

Αυτή είναι η τεχνική που χρησιμοποιείται κατά κόρον στα πραγματικά προβλήματα CSP, και είναι συνδυασμός της τεχνικής συνέπειας τόξου με τον αλγόριθμο οπισθοδρομικής αναζήτησης.

2.3 Παράδειγμα ενός CSP.

Έχουμε το CSP με τις επακόλουθες μεταβλητές ,τα πεδία ορισμού γι'αυτές και τους περιορισμούς:

X με πεδίο ορισμού (1 2 4 5 6 7 9 10 11)

Y με πεδίο ορισμού (3 5 7 8 9)

Z με πεδίο ορισμού (0 5 6 3 8 10 11)

W με πεδίο ορισμού (10 11 4 5 6 7)

Οι περιορισμοί είναι οι παρακάτω:

$$X < 10$$

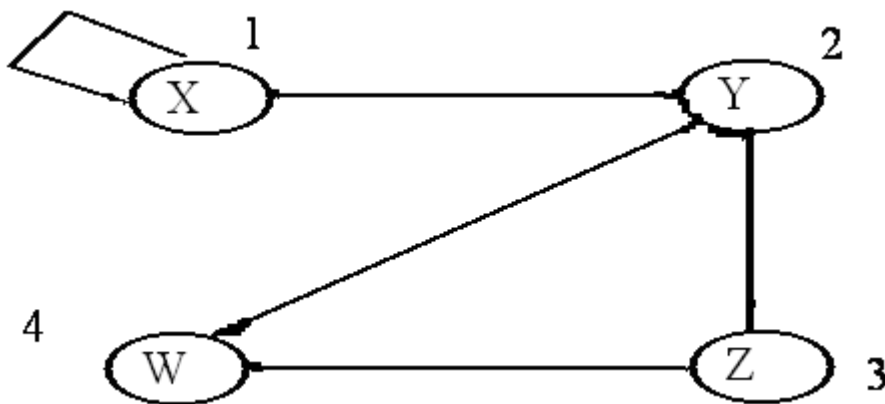
$$Y = X + 1$$

$$Z \geq Y + 1$$

$$W \neq Y$$

$$W \neq Z$$

Αυτό το CSP μπορεί να αναπαρασταθεί ως ένας γράφος G στον οποίο ο κάθε κόμβος αναπαριστά μια μεταβλητή και κάθε ακμή μεταξύ δύο μεταβλητών αναπαριστά έναν περιορισμό.



Σχήμα 2.3: Αναπαράσταση ενός CSP ως γράφο. Κάθε κόμβος αναπαριστά μια μεταβλητή και κάθε ακμή μεταξύ δύο μεταβλητών αναπαριστά έναν περιορισμό.

Το ζητούμενο είναι να βρεθούν όλα τα δυνατά συμβατά πεδία τιμών για τις μεταβλητές X, Y, W, και Z.

2.4 Εφαρμογές Μοντέλου CSP.

Τα προβλήματα ικανοποίησης περιορισμών είναι μια απλή μοντελοποίηση προβλημάτων. Παρ'όλα αυτά, η συγκεκριμένη προσέγγιση μπορεί να χρησιμοποιηθεί για να μοντελοποιήσει πολλά πρακτικά προβλήματα όπως τα παρακάτω:

Χρονική Συλλογιστική (Temporal Reasoning)

Χωρική Συλλογιστική (Spatial Reasoning)

Δρομολόγηση Οχημάτων (Vehicle Routing)

Κατανομή Πόρων (Resource allocation)

Σύνθεση Ανθρώπινης Ομάδας (Manpower rostering)

Σχεδιασμός Ενεργειών (Planning)

Κατανομή Συχνοτήτων (Frequency Assignment)

Ακέραιος, γραμμικός και μη-γραμμικός προγραμματισμός (integer, linear and non-linear programming) - χρωματισμός γράφων, χρονοπρογραμματισμός, n-queens

Timetabling

Scheduling, sequencing - aircrew, job-shop

Και πολλά άλλα προβλήματα βελτιστοποίησης.

Κεφάλαιο 3

Συνέπεια Τόξου

Σε αυτό το κεφάλαιο της εργασίας παρουσιάζεται η έννοια της συνέπειας τόξου. Αρχικά δίνεται ο μαθηματικός ορισμός αυτής της έννοιας. Έπειτα δίνονται απαντήσεις στα ερωτήματα τι είναι συνέπεια τόξου και πότε εφαρμόζεται. Τέλος παρουσιάζεται ένα πολύ απλό παράδειγμα ελέγχου συνέπειας τόξου.

3.1 Ορισμός Συνέπειας Τόξου.

Έστω N ένα δίκτυο δυαδικών περιορισμών ,με V το σύνολο των μεταβλητών, D το σύνολο των πεδίων ορισμού των μεταβλητών και C το σύνολο των περιορισμών του δικτύου.

Η μεταβλητή V_i παρουσιάζει συνέπεια τόξου σχετικά με τη μεταβλητή V_j ,αν για κάθε τιμή a_i που ανήκει στο πεδίου ορισμού D_i , υπάρχει τουλάχιστον μια τιμή b_j που ανήκει στο πεδίο ορισμού D_j της μεταβλητής V_j έτσι ώστε ο συνδυασμός των τιμών (a_i, b_j) να ικανοποιούν τον περιορισμό $C_{i,j}$ που περιλαμβάνει τις μεταβλητές V_i και V_j .

Ο περιορισμός C_{ij} που περιλαμβάνει τις μεταβλητές V_i και V_j παρουσιάζει συνέπεια τόξου όταν η μεταβλητή V_i παρουσιάζει συνέπεια τόξου ως προς την μεταβλητή V_j και το αντίστροφο.

Το δίκτυο N παρουσιάζει συνέπεια τόξου αν κάθε περιορισμός στο σύνολο C παρουσιάζει συνέπεια τόξου.

3.2 Τι είναι Συνέπεια Τόξου ,Που και Πότε Εφαρμόζεται.

Η συνέπεια τόξου (Arc Consistency) είναι ο παλαιότερος και ο πιο γνωστός τρόπος διάδοσης περιορισμών (Constraints Propagation). Είναι μια σχετικά απλή και ευκόλως κατανοητή τεχνική ,η οποία εξασφαλίζει ότι κάθε τιμή σε ένα πεδίο ορισμού είναι συνεπής με κάθε ζευγάρι περιορισμών. Είναι επίσης αρκετά αποδοτική τεχνική η οποία καταφέρνει να

εξαλείφει τις μη συνεπείς τιμές στα πεδία ορισμού των μεταβλητών, με σχετικά μικρό χρονικό και χωρικό κόστος.

Μπορεί να εφαρμοστεί ως προπαρασκευαστικό μέτρο στα προβλήματα ικανοποίησης περιορισμών, πριν την εκτέλεση κάποιου αλγόριθμου οπισθοδρομικής αναδόμησης backtracking search. Η συνέπεια τόξου είναι μια από τις πιο σημαντικές τεχνικές για τον έλεγχο ασυνεπειών και οποίες χρησιμοποιείται σε unary και binary προβλήματα ικανοποίησης περιορισμών.

Φυσικά υπάρχουν κι άλλες τέτοιες τεχνικές ελέγχου συνέπειας. Ωστόσο στην παρούσα εργασία θα ασχοληθούμε μόνο με την συνέπεια τόξου, στην οποία αναφέρονται και οι αλγόριθμοι AC-3 και AC-4 που θα αναπτύξουμε. Η συνέπεια τόξου είναι μάλιστα η πιο φθηνή και αποδοτική από όλες τις γνωστές τεχνικές.

3.3 Παράδειγμα Ελέγχου Συνέπειας Τόξου.

Η έννοια του ελέγχου συνέπειας τόξου είναι σχετικά απλή. Για παράδειγμα έστω δύο μεταβλητές, X και Y οι οποίες συμμετέχουν στον περιορισμό $X = Y$ και παίρνουν τιμές από τα παρακάτω πεδία αντίστοιχα :

$$D_x = (2, 3, 4, 5, 7)$$

$$D_y = (4, 5, 6)$$

Ο περιορισμός $X = Y$ δείχνει ότι μια τιμή του πεδίου D_x πρέπει να υπάρχει και στο πεδίο D_y και αντίστροφα. Για να ικανοποιηθεί ο περιορισμός πρέπει να αφαιρεθούν όλες οι μη συνεπείς από τα πεδία D_x και D_y . Οπότε αρχικά θα αφαιρεθούν οι τιμές 2, 3, 7 από το πεδίο ορισμού D_x και έπειτα η τιμή 6 από το D_y . Συνεπώς το τελικό πεδίο ορισμού $D_x = D_y$ είναι το (4, 5).

Αυτή η διαδικασία ονομάζεται έλεγχος συνέπειας τόξου και μπορεί να μειώσει κατά πολύ τον χώρο αναζήτησης των λύσεων όταν εφαρμοστεί σε ένα CSP.

3.3.1 Ένα Διαισθητικό Παράδειγμα.

Έστω ότι έχουμε το παρακάτω CSP,

Μεταβλητές: X, Y, Z

Πεδία Ορισμού: $D_x = (4\ 5\ 6\ 7)$,

$D_y = (4\ 5\ 6\ 8\ 9)$

$D_z = (3\ 5\ 6\ 7\ 9)$

Περιορισμοί: $X = Y, Y = Z$.

** Πρώτα ελέγχουμε τον περιορισμό: $X = Y$

Παίρνουμε: $D_x = (4\ 5\ 6)$,

$D_y = (4\ 5\ 6)$,

D_z καμία αλλαγή

*** Έπειτα ελέγχουμε και τον δεύτερο περιορισμό: $Y = Z$

Παίρνουμε: $D_y = (5\ 6)$

$D_z = (5\ 6)$

$D_x = (4\ 5\ 6)$ (καμία αλλαγή)

Τώρα προκύπτει ένα πρόβλημα επειδή ο περιορισμός

$X = Y$, δεν ικανοποιείται πλέον

Άρα πρέπει να ελέγξουμε τον περιορισμό $X = Y$ ξανά, ώστε το πεδίο ορισμού D_x , να γίνει επίσης $D_x = (5\ 6)$.

3.4 Συνέπεια Τόξου και Τοπική Συνέπεια.

Οι αλγόριθμοι συνέπειας τόξου επιτυγχάνουν μόνο τοπική συνέπεια (*local consistency*), δηλαδή συνέπεια για κάθε τόξο. Όμως δεν επιτυγχάνουν ολική συνέπεια (*global consistency*) δηλαδή συνέπεια για ολόκληρο το πρόβλημα ικανοποίησης περιορισμών (CSP). Για παράδειγμα ,έχουμε ένα CSP με τις παρακάτω μεταβλητές:

X, Y , Z.

Η X έχει πεδίο ορισμού το (1 2 3),

Ενώ οι Y και Z έχουν και οι δύο το (1 2).

Οι περιορισμοί είναι οι:

$X \neq Y, Y \neq Z, X \neq Z.$

Χρησιμοποιώντας μόνο συνέπεια τόξου , καμία τιμή από τα πεδία ορισμού των μεταβλητών δεν μπορεί να διαγραφεί. Αυτό σημαίνει ότι οι περιορισμοί είναι συνεπείς.

Ωστόσο οι μεταβλητές X, Y και Z δεν μπορούν να πάρουν οποιαδήποτε τιμή από τα πεδία ορισμού τους επειδή για παράδειγμα όταν το $X = 2$ ή $X = 1$, το πρόβλημα είναι αδύνατο. Αυτό σημαίνει ότι οι μεταβλητή X δεν παρουσιάζει ολική συνέπεια ως προς το πρόβλημα, επειδή παίρνοντας αυτές τις δύο τιμές δεν υπάρχει λύση για το πρόβλημα.

Η συνέπεια τόξου δεν μπορεί να εντοπίσει τέτοιου είδους ασυνέπειες. Άλλες τεχνικές μπορούν να κάνουν κάτι τέτοιο , ωστόσο χρησιμοποιούνται σπάνια και δεν θα τις εξετάσουμε σε αυτή την διπλωματική εργασία.

Κεφάλαιο 4

Ο Αλγόριθμος AC-3

Στο κεφάλαιο 4 της παρούσας εργασίας παρουσιάζεται ο τρόπος λειτουργίας του αλγορίθμου AC-3. Στη συνέχεια παρατίθεται ο ψευδοκώδικας του συγκεκριμένου αλγορίθμου. Μετά τον ψευδοκώδικα ακολουθεί μια σύντομη ανάλυση του αλγορίθμου όσον αφορά την χρονική και την χωρική πολυπλοκότητα. Έπειτα δίνεται ένα παράδειγμα εκτέλεσης του αλγορίθμου. Και τέλος σχολιάζεται μια παραλλαγή του αλγορίθμου AC-3.

4.1 Ο Τρόπος Λειτουργίας.

Ο πλέον γνωστός αλγόριθμος συνέπειας τόξου είναι αυτός που προτάθηκε από τον Mackworth [4] , υπό το όνομα AC-3. Είναι ένας γενικός αλγόριθμος ο οποίος μπορεί να χρησιμοποιηθεί για να ελέγξει την συνέπεια τόξου οποιουδήποτε δυαδικού περιορισμού. Επειδή είναι γενικός αλγόριθμος όμως είναι και μη αποδοτικός για την επίλυση πραγματικών προβλημάτων ικανοποίησης περιορισμών ,μιας και δεν λαμβάνει υπ'όψη τα συγκεκριμένα χαρακτηριστικά του προβλήματος .

Ο αλγόριθμος εφαρμόζεται σε δυαδικά δίκτυα και για την ακρίβεια πετυχαίνει συνέπεια τόξου για τόξα 2 κορυφών .Είναι σχετικά απλώς στην κατανόησή του, αν και εισάγει μια καινοτόμα ιδέα σε σύγκριση με τους προκατόχους του, τους AC-1 και AC-2. Αυτή η ιδέα είναι ότι δεν χρειάζεται να επεξεργαστούμε από την αρχή όλους τους περιορισμούς αν μόνο λίγα πεδία ορισμού έχουν αλλάξει. Μπορούμε να κρατάμε τα τόξα των οποίων οι μεταβλητές υφίστανται αλλαγή από την διαγραφή τιμών σε μια ουρά ,έτσι ώστε να επεξεργαστούμε μόνο αυτά.

Ο αλγόριθμος αρχικά αρχικοποιεί την ουρά Q έτσι ώστε αυτή να περιέχει όλα τα τόξα (V_i, V_j) ,με i διάφορο του j ,που ανήκουν στο σύνολο των περιορισμών του προβλήματος.

Έπειτα χρησιμοποιεί έναν απλό βρόγχο ο οποίος σε κάθε επανάληψή αφαιρεί ένα τόξο (V_i, V_j) από την ουρά Q , με σκοπό να το αναθεωρήσει μέσω της ρουτίνας $REVISE(V_i, V_j)$. Ο βρόγχος επαναλαμβάνεται μέχρις ότου η ουρά Q μείνει άδεια. Κάθε φορά που η ρουτίνα $REVISE(V_i, V_j)$ πραγματοποιεί αλλαγές στα πεδία ορισμού της εκάστοτε μεταβλητής V_i , ο αλγόριθμος προσθέτει στην ουρά Q όλα τα τόξα τα οποία δεν βρίσκονται ήδη στην ουρά και περιλαμβάνουν την μεταβλητή V_i ως μια εκ των δύο κορυφών τους. Συνεπώς η ουρά Q αρχίζει να αποθηκεύει τα τόξα του δικτύου για τα οποία δεν είναι βέβαιο ότι υπάρχει συνέπεια τόξου. Μόλις η ουρά αδειάσει τελείως είναι πλέον επιβεβαιωμένο ότι όλα τα πεδία τιμών παρουσιάζουν συνέπεια για όλους τους περιορισμούς του προβλήματος. Με την χρήση της ουράς Q ο AC-3 αποφεύγει τις άσκοπες κλήσεις της ρουτίνας $REVISE(V_i, V_j)$, αντιθέτως με τους προκατόχους του, οι οποίοι δεν χρησιμοποιούν καμία ουρά.

Η ρουτίνα $REVISE(V_i, V_j)$ είναι το κύριο συστατικό του αλγορίθμου AC-3. Δεδομένου ενός τόξου δύο κορυφών (V_i, V_j) , η ρουτίνα $REVISE(V_i, V_j)$ παίρνει κάθε τιμή X που ανήκει στο πεδίο ορισμού D_i και ελέγχει αν υπάρχει έστω και μια τιμή Y που να ανήκει στο πεδίο ορισμού D_j , έτσι ώστε η τιμή X να παρουσιάζει συνέπεια τόξου ως προς την τιμή Y . Αν δεν βρεθεί καμία τέτοια τιμή Y , τότε η τιμή X αφαιρείται από το πεδίο D_i . Η ρουτίνα επιστρέφει την τιμή true αν έστω και μια τιμή X έχει διαγραφεί από το πεδίο ορισμού D_i . Αν καμία τιμή δεν έχει διαγραφεί, αυτό σημαίνει ότι η μεταβλητή V_i παρουσιάζει συνέπεια τόξου ως προς την V_j και η ρουτίνα επιστρέφει false.

4.2 Ο Ψευδοκώδικας.

Στη συνέχεια ακολουθεί ο ψευδοκώδικας του αλγορίθμου συνέπειας τόξου AC-3 για τα προβλήματα ικανοποίησης περιορισμών [1]. Όπου V_i, V_j είναι τα σύνολα κορυφών – μεταβλητών. X, Y είναι συγκεκριμένες κορυφές – μεταβλητές. (V_i, V_j) είναι το τόξο μεταξύ των κορυφών -περιορισμός. D_i και D_j είναι τα πεδία ορισμού της μεταβλητής V_i και V_j αντίστοιχα. Q είναι μια ουρά που κρατάει τα τόξα που πρέπει να ελεγχθούν για ασυνέπειες. $Arcs(G)$ είναι το σύνολο των τόξων-περιορισμών του γραφήματος G .

Algorithm AC-3

procedure AC-3

Q <- { (Vi,Vj) in arcs(G),i<>j };

while not **Q** empty

 select and delete any arc (Vk,Vm) from **Q**;

if REVISE(Vk,Vm) then //if not arc consistent then...

Q <- **Q** union {(Vi,Vk) such that (Vi,Vk) in arcs(G),i<>k,i<>m}

endif

endwhile

end AC-3

Algorithm REVISE

procedure REVISE(Vi,Vj)

DELETE <- false;

for each **X** in **Di** **do**

if there is no such **Y** in **Dj** such that (**X**,**Y**) is consistent, then

 delete **X** from **Di**;

DELETE <- true;

endif;

endfor;

return **DELETE**; //I have deleted unsupported **X** from **Di** or ---> true
 //I haven't deleted **X** because it is supported ---> false

end REVISE

4.3 Ανάλυση του AC-3.

Λήμμα

Ο AC-3 επιτυγχάνει συνέπεια τόξου σε δυαδικά δίκτυα σε χρόνο $O(e \cdot d^3)$ και χώρο $O(e)$, όπου e το σύνολο των περιορισμών και d ο αριθμός των τιμών του πεδίου ορισμού με τις περισσότερες τιμές.

4.3.1 Απόδειξη Χρονικής Πολυπλοκότητας.

Έστω ένας περιορισμός C_i . Κάθε φορά που ο περιορισμός C_i ξαναμπαίνει στην ουρά Q το πεδίο ορισμού μιας από τις δύο μεταβλητές που ανήκουν στον περιορισμό έχει αλλάξει. Μιας και υπάρχουν το πολύ $2 \cdot d$ τιμές, δηλαδή d τιμές για την μία εκ των δύο μεταβλητών που συμμετέχουν στον δυαδικό περιορισμό και άλλες d τιμές για την άλλη μεταβλητή, ο αλγόριθμος AC3 θα επεξεργαστεί τον περιορισμό το πολύ $2 \cdot d$ φορές. Επειδή έχουμε e περιορισμούς και η επεξεργασία του καθενός παίρνει χρόνο ίσο με $O(d^2)$, τελικά η χρονική πολυπλοκότητα του AC-3 είναι $O(e \cdot d^3)$.

Σημείωση: Αν το δίκτυο παρουσιάζει συνέπεια τόξου εξ αρχής, τότε ο αλγόριθμος AC-3 θα χρειαστεί χρόνο ίσο με $O(e \cdot d^2)$, επειδή κάθε περιορισμός θα επεξεργαστεί μόνο μία φορά.

Η χρονική πολυπλοκότητα του αλγορίθμου AC-3 δεν είναι η βέλτιστη. Η χρήση της ουράς Q σε συνδυασμό με την ρουτίνα `Revise` έχει ως αποτέλεσμα να μην ελέγχονται ξανά οι περιορισμοί για τους οποίους γνωρίζουμε ότι δεν έχει γίνει καμία αλλαγή στα πεδία τιμών των μεταβλητών τους και συνεπώς παρουσιάζουν ήδη συνέπεια τόξου. Αυτό είναι ασφαλώς επιθυμητό. Ωστόσο το γεγονός ότι η ρουτίνα `Revise` δεν αποθηκεύει κανένα στοιχείο για τους υπολογισμούς που υλοποιεί για να βρει υποστήριξη για τις τιμές των μεταβλητών, αναγκάζει τον AC-3 να ξανακάνει αρκετές φορές τους ίδιους ελέγχους μεταξύ των τιμών των μεταβλητών για τις οποίες έχει ήδη κάνει έλεγχο ασυνέπειας.

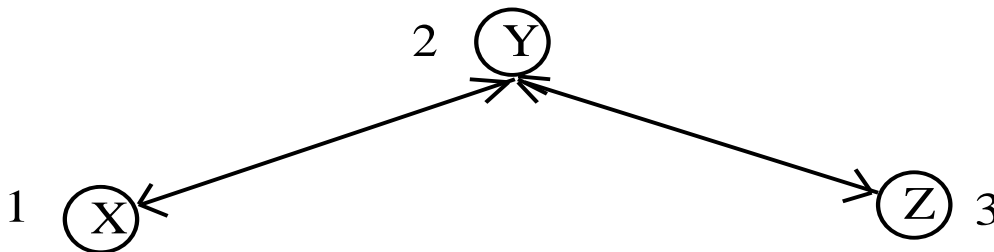
4.3.2 Απόδειξη Χωρικής Πολυπλοκότητας.

Ο αλγόριθμος AC-3 χρησιμοποιεί μόνο μια απλή δομή δεδομένων, μια ουρά. **Q**. Η ουρά **Q** κρατάει τα τόξα-περιορισμούς που πρέπει να ελεγχθούν για συνέπεια τόξου. Στην αρχή της εκτέλεση του αλγορίθμου η ουρά κρατάει όλα αυτά τα τόξα, τα οποία προσθαφαιρούνται κατά την χρήση εκτέλεση του αλγορίθμου, Με την προϋπόθεση ότι τα τόξα που υπάρχουν ήδη στην ουρά δεν ξαναπροστίθενται, είναι βέβαιο ότι τα τόξα που είναι αποθηκευμένα στην ουρά δεν θα ξεπεράσουν ποτέ σε αριθμό τον συνολικό αριθμό των περιορισμών του προβλήματος, **e**. Άρα το μέγεθος της ουράς είναι σε χώρο **O(e)**.

4.4. Παράδειγμα Εκτέλεσης .

Έστω ότι έχουμε το παρακάτω CSP,

Μεταβλητές: X, Y, Z
 Πεδία ορισμού: $D_x = (4\ 5\ 6\ 7)$, $D_y = (4\ 5\ 6\ 8\ 9)$
 $D_z = (3\ 5\ 6\ 7\ 9)$
 Περιορισμοί: $X = Y$, $Y = Z$.



Σχήμα 4.1: Παράδειγμα εκτέλεσης αλγορίθμου AC-3

Αρχικά, $Q = \{(1, 2), (2, 1), (2, 3), (3, 2)\}$ ή αλλιώς

$$Q = \{(X, Y), (Y, X), (Y, Z), (Z, Y)\}$$

*** Αφού βγει το τόξο (X, Y) από την ουρά ώστε να ελεγχθεί, έχουμε

$$D_x = (4\ 5\ 6), D_y = (4\ 5\ 6\ 8\ 9), D_z \text{ καμία αλλαγή}$$

Καμία προσθήκη στην ουρά Q.

*** Αφού βγει το τόξο (Y, X) από την ουρά ώστε να ελεγχθεί, έχουμε

$Dy = (4\ 5\ 6)$, $Dx = (4\ 5\ 6)$, Dz no καμία αλλαγή

Το τόξο (Z, Y) πρέπει να εισαχθεί στην ουρά Q ,

αλλά βρίσκεται ήδη εκεί, οπότε μην κάνεις τίποτα.

*** Αφού βγει το τόξο (Y, Z) από την ουρά ώστε να ελεγχθεί ,έχουμε

$Dy = (5\ 6)$, Dz καμία αλλαγή, $Dx = (4\ 5\ 6)$

Το τόξο (X, Y) πρέπει να εισαχθεί στην ουρά Q για επανέλεγχο.

*** Αφού βγει το τόξο (Z, Y) από την ουρά ώστε να ελεγχθεί ,έχουμε

Dy καμία αλλαγή, $Dz = (5\ 6)$, Dx καμία αλλαγή

Το τόξο (X, Z) πρέπει να εισαχθεί στην ουρά Q για επανέλεγχο,

Αλλά δεν υπάρχει τόξο μεταξύ των X και Z .

*** Αφού βγει το τόξο (X, Y) από την ουρά ώστε να ελεγχθεί ,έχουμε

Dy καμία αλλαγή, Dz καμία αλλαγή , $Dx = (5\ 6)$

Το τόξο (Z, X) πρέπει να εισαχθεί στην ουρά Q για επανέλεγχο,

Αλλά δεν υπάρχει τόξο μεταξύ των Z και X .

*** Η ουρά Q τώρα είναι πλέον άδεια, οπότε η εκτέλεση του αλγόριθμου ολοκληρώνεται εδώ.

4.5. Παραλλαγή του AC-3.

Ο McGregor πρότεινε έναν διαφορετικό τρόπο διάδοσης περιορισμών (constraints propagation) για τον AC3, ο οποίος αργότερα ονομάστηκε μεταβλητο-στραφής (variable-oriented), αντίθετα με την αρχική τακτική του AC-3 η οποία είναι τοξο-στραφής (arc-oriented) [5] . Αντί να τοποθετηθούν στην ουρά Q τα τόξα τα οποία πρέπει να αναθεωρηθούν από την ρουτίνα REVISE κάθε φορά που γίνεται μια αλλαγή στο πεδίο ορισμού D_i ,τοποθετούμε απλά την μεταβλητή V_i . Η ουρά Q περιέχει τις μεταβλητές οι οποίες πρέπει να εξεταστούν για ασυνέπειες. Όταν η μεταβλητή V_i βγαίνει από την ουρά , ο αλγόριθμος αναθεωρεί με την ρουτίνα REVISE όλα τα τόξα που περιέχουν την μεταβλητή V_i , τα οποία θα μπορούσαν να οδηγήσουν σε περαιτέρω διαγραφές τιμών από το πεδίο ορισμού των μεταβλητών που συμμετέχουν με την V_i .

Η υλοποίηση αυτής της έκδοσης του AC-3 είναι πιο απλή επειδή τα στοιχεία στην ουρά Q είναι απλά μεταβλητές . Ωστόσο αυτή η λιγότερο ακριβής πληροφορία παρουσιάζει

ένα μειονέκτημα. Ένα συγκεκριμένο τόξο μπορεί να χρειαστεί να αναθεωρηθεί μέσω της REVISE αρκετές φορές ενώ ο κλασικός AC-3 θα πραγματοποιούσε μόνο μία αναθεώρηση γι'αυτό το τόξο.

Κεφάλαιο 5

Ο Αλγόριθμος AC-4

Σε αυτό το κεφάλαιο της εργασίας παρουσιάζεται ο τρόπος λειτουργίας του αλγορίθμου AC-4. Στη συνέχεια παρατίθεται ο ψευδοκώδικας του συγκεκριμένου αλγορίθμου. Μετά τον ψευδοκώδικα ακολουθεί μια σύντομη ανάλυση της πολυπλοκότητας του αλγορίθμου. Έπειτα δίνεται ένα παράδειγμα εκτέλεσης του αλγορίθμου. Μετά το παράδειγμα εκτέλεσης ακολουθεί ο σχολιασμός των ελαττωμάτων του αλγορίθμου. Τέλος συγκρίνονται οι αλγόριθμοι fine-grained με τους αλγορίθμους coarse-grained.

5.1 Ο Τρόπος Λειτουργίας.

Καθώς ο AC3 δεν είναι βέλτιστος χρονικά, οι Mohr και Henderson πρότειναν τον AC4 έτσι ώστε να βελτιωθεί η χρονική πολυπλοκότητα της οικογένειας αλγορίθμων AC [6, 7]. Η ιδέα του AC4, αντιθέτως με τον AC3, είναι η αποθήκευση όσο το δυνατόν περισσότερης πληροφορίας. Ο AC3 υλοποιεί την ελάχιστη δυνατή προσπάθεια κατά την κλήση της ρουτίνας Revise, επιβεβαιώνοντας ότι όλες οι εναπομείναντες τιμές της μεταβλητής V_i παρουσιάζουν υποστήριξη για τον περιορισμό C_{ij} . Η ρουτίνα Revise δεν κρατάει τίποτα στην μνήμη. Το κόστος αυτής της επιλογής είναι ότι αν κληθεί η ρουτίνα Revise για το ίδιο τόξο, τότε ο αλγόριθμος θα χρειαστεί να ξανακάνει αρκετή δουλειά την οποία την έχει κάνει ήδη. Ο AC4 ωστόσο αποθηκεύει την μέγιστη δυνατή ποσότητα πληροφορίας σε ένα προεπεξεργαστικό βήμα, έτσι ώστε να αποφύγει να ελέγξει ξανά τις τιμές των μεταβλητών που έχουν ήδη ελεγχθεί και δεν παρουσιάζουν αλλαγές κατά την μετάδοση των διαγραφών.

Ο ψευδοκώδικας του AC-4 παρουσιάζεται στην επόμενη ενότητα. Ο αλγόριθμος υπολογίζει έναν μετρητή $counter[V_i, a_i, V_j]$ για κάθε τριπλέτα (V_i, a_i, V_j) , όπου ο

περιορισμός C_{ij} που αποτελείται από τις μεταβλητές V_i και V_j ανήκει στο σύνολο των περιορισμών C και οι τιμές a_i ανήκουν στο πεδίο ορισμού D_i . Αυτός ο μετρητής τελικά μετράει πόσες τιμές της μεταβλητής V_j υποστηρίζουν την τιμή a_i της μεταβλητής V_i για τον περιορισμό C_{ij} . Ο AC4 φτιάχνει μια δομή του τύπου $S[V_j, b_j]$ η οποία περιέχει όλες τις τιμές a_i της μεταβλητής V_i σε ζευγάρια μεταβλητών-τιμών (V_i, a_i) που συμμετέχουν στον περιορισμό C_{ij} και υποστηρίζουν την εκάστοτε τιμή b_j της εκάστοτε μεταβλητής V_j .

Κατά την φάση αρχικοποίησης, ο AC4 πραγματοποιεί όλους τους δυνατούς ελέγχους περιορισμών για όλους τους περιορισμούς. Κάθε φορά που ανακαλύπτει μια τιμή b_j που ανήκει στο πεδίο ορισμού D_j και υποστηρίζει την τιμή a_i της μεταβλητής V_i για τον περιορισμό C_{ij} , ο μετρητής $\text{counter}[V_i, a_i, V_j]$ αυξάνεται κατά ένα, και το ζευγάρι (V_i, a_i) προστίθεται στη λίστα $S[V_j, b_j]$. Μόλις ολοκληρωθεί η εξέταση του περιορισμού C_{ij} , αν ο μετρητής $\text{counter}[V_i, a_i, V_j]$ είναι ίσος με μηδέν, τότε αυτό σημαίνει ότι η τιμή a_i της μεταβλητής V_i δεν υποστηρίζεται από καμία τιμή της μεταβλητής V_j . Άρα η τιμή a_i θα πρέπει να αφαιρεθεί από το πεδίο ορισμού D_i και να τοποθετηθεί στην ουρά Q με την μορφή (V_i, a_i) , έτσι ώστε να εξεταστεί ξανά για ασυνέπειες.

Μόλις ολοκληρωθεί η φάση αρχικοποίησης, ο αλγόριθμος εκτελεί την λούπα ελέγχου ασυνεπειών. Για κάθε ζευγάρι (V_j, a_j) που βγαίνει από την ουρά Q , πρέπει να μειωθεί ο μετρητής $\text{counter}[V_i, a_i, V_j]$ για κάθε ζευγάρι (V_i, a_i) που ανήκει στη λίστα $S[V_j, b_j]$, έτσι ώστε οι μετρητές να είναι πάντα ενημερωμένοι. Αν ο μετρητής $\text{counter}[V_i, a_i, V_j]$ φτάσει την τιμή μηδέν, αυτό σημαίνει ότι η τιμή b_j της μεταβλητής V_j ήταν η τελευταία που υποστήριζε την τιμή a_i της μεταβλητής V_i για τον περιορισμό C_{ij} . Τότε η τιμή a_i αφαιρείται από το πεδίο ορισμού D_i και τοποθετείται στην ουρά Q . Μόλις η ουρά Q αδειάσει, τότε γνωρίζουμε ότι όλες οι εναπομείναντες τιμές των πεδίων ορισμού των μεταβλητών έχουν μη-μηδενικό μετρητή για κάθε περιορισμό στον οποίο συμμετέχουν οι μεταβλητές και έτσι οι μεταβλητές είναι συνεπείς.

5.2 Ο Ψευδοκώδικας.

Η βασική ιδέα του AC-4 είναι η συσχέτιση κάθε τιμής a_i του πεδίου ορισμού της μεταβλητής V_i με την υποστήριξη που παρέχει κάθε τιμή της μεταβλητής V_j . Δηλαδή τον αριθμό των τιμών στο πεδίο ορισμού D_j που υποστηρίζουν την τιμή a_i . Η τιμή a_i

απομακρύνεται αν χάσει την υποστήριξή της από οποιαδήποτε άλλη μεταβλητή. Ο αλγόριθμος χρησιμοποιεί μια ουρά Q , η οποία κρατάει τις τιμές των μεταβλητών που δεν υποστηρίζονται. Έναν μετρητή $counter[V_i, a_i, V_j]$, ο οποίος μετράει την ποσότητα υποστήριξης για τις τιμές a_i της μεταβλητής V_i από τις τιμές της μεταβλητής V_j . Και μια λίστα $S[V_j, b_j]$, η οποία περιέχει ζευγάρια μεταβλητών-τιμών (V_i, a_i) που υποστηρίζονται από τα ζευγάρια μεταβλητών-τιμών (V_j, b_j) . Στη συνέχεια ακολουθεί ο ψευδοκώδικας του αλγορίθμου AC-4 [2].

Algorithm AC-4

procedure AC-4

```

Q <- INITIALIZE;
while not Q empty           //while there are still unsupported values

    select and delete any pair <Vj,bj> from Q;
    for each <Vi,ai> from S[Vj,bj] do

        counter[(Vi,ai,Vj)] <- counter[(Vi,ai,Vj)]- 1;    //because bj is deleted

        if counter[(Vi,ai,Vj)]=0 & ai is still in Di then
            delete ai from Di;
            Q <- Q union {<Vi,ai>};
        endif

    endfor

endwhile

end AC-4

```

Algorithm INITIALIZE

procedure INITIALIZE

```
Q<- {}; //Q holds unsupported values "Variable,Value"
S[Vj,bj]<- {}; //S[Vj,bj] holds supported values "Variable,Value"

for each (Vi,Vj) in arcs(G) do //for each arc

  for each ai in Di do
    total <- 0;

    for each bj in Dj do
      if (ai,bj) is consistent according to the constraint (Vi,Vj) then
        total <- total+1; //count amount of support
        S[Vj,bj]<-S[Vj,bj] union {(Vi,ai)}; //add supported value in S as
      endif //a pair in form of (Vi,ai)
    endfor;

    counter[(Vi,ai,Vj)] <- total; //amount of support to Vi,ai from Vj
    if counter[(Vi,ai,Vj)]=0 then //ai not supported by any value of variable Vj
      delete ai from Di;
      Q <- Q union {(Vi,ai)}; //add unsupported value ai to Q
    endif;

  endfor;

endfor;

return Q;

end INITIALIZE
```

5.3 Ανάλυση του AC-4.

Λήμμα

Ο AC-4 επιτυγχάνει συνέπεια τόξου σε δυαδικά δίκτυα σε χρόνο $O(e*d^2)$ και χώρο $O(e*d^2)$, όπου e το σύνολο των περιορισμών και d ο αριθμός των τιμών του πεδίου ορισμού με τις περισσότερες τιμές. Η χρονική πολυπλοκότητα του αλγορίθμου είναι η βέλτιστη.

5.4. Παράδειγμα Εκτέλεσης.

Έστω ένα δίκτυο με τους περιορισμούς [c]

c1: $x \leq y$

c2: $y < z$, και τα πεδία ορισμού των μεταβλητών

$D(x) = D(y) = \{1, 2, 3, 4\}$

$D(z) = \{3\}$.

Κατά την φάση αρχικοποίησης, ο AC4 αρχικά μετράει τον αριθμό υποστηρίξεων για κάθε τιμή σε κάθε περιορισμό και φτιάχνει τις λίστες των τιμών που υποστηρίζονται. Οπότε, κατά την αρχικοποίηση, ο AC4 πραγματοποιεί όλους τους πιθανούς ελέγχους περιορισμών για κάθε τιμή σε κάθε πεδίο ορισμού, στην συγκεκριμένη περίπτωση, $4 * 4 = 16$ έλεγχοι περιορισμών για τον περιορισμό c1 and $4 * 1 = 4$ για τον περιορισμό c2. Στο τέλος αυτής της φάσης, οι δομές δεδομένων έχουν ως εξής:

$counter[x, 1, y] = 4$ $counter[y, 1, x] = 1$ $counter[y, 1, z] = 1$ $counter[z, 3, y] = 3$

$counter[x, 2, y] = 3$ $counter[y, 2, x] = 2$ $counter[y, 2, z] = 1$

$counter[x, 3, y] = 2$ $counter[y, 3, x] = 3$ $counter[y, 3, z] = 0$

$counter[x, 4, y] = 1$ $counter[y, 4, x] = 4$ $counter[y, 4, z] = 1$

$S[x, 1] = \{(y, 1), (y, 2), (y, 3), (y, 4)\}$ $S[y, 1] = \{(x, 1), (z, 3)\}$ $S[z, 3] = \{(y, 1), (y, 2), (y, 4)\}$

$S[x, 2] = \{(y, 2), (y, 3), (y, 4)\}$ $S[y, 2] = \{(x, 1), (x, 2), (z, 3)\}$

$S[x, 3] = \{(y, 3), (y, 4)\}$ $S[y, 3] = \{(x, 1), (x, 2), (x, 3)\}$

$S[x, 4] = \{(y, 4)\}$ $S[y, 4] = \{(x, 1), (x, 2), (x, 3), (x, 4), (z, 3)\}$

Ο μόνος μετρητής που ισούται με μηδέν είναι ο $counter[y, 3, z]$. Οπότε η τιμή 3 αφαιρείται από το πεδίο ορισμού της μεταβλητής y και ο AC4 μπαίνει στην κύρια λούπα με το $(y, 3)$ στην ουρά Q . Όταν το $(y, 3)$ εξέρχεται από την ουρά Q , η λίστα $S[y, 3]$ διασχίζεται και οι μετρητές $counter[x, 1, y]$, $counter[x, 2, y]$, $counter[x, 3, y]$ μειώνονται (επειδή τα $(x, 1)$, $(x, 2)$, $(x, 3)$ βρίσκονται στην λίστα $S[y, 3]$). Κανένας από αυτούς τους μετρητές δεν ισούται με μηδέν και καμία τιμή δεν αφαιρείται. Παρατηρούμε ότι η διάδοση της διαγραφής της τιμής $(y, 3)$ δεν

χρειάστηκε κανέναν έλεγχο περιορισμού .Απλά χρειάστηκε την διάσχιση των λιστών $S[..]$ και τις αναβαθμίσεις των μετρητών .

5.5. Το Ελάττωμα του AC-4.

Αν και ο AC-4 είναι βέλτιστος όσον αφορά την χρονική πολυπλοκότητα , πάσχει από την ακριβή χωρική του πολυπλοκότητα. Επίσης η φάση αρχικοποίησής του είναι χρονικά ακριβή, έτσι ώστε σε αρκετά προβλήματα περιορισμών με μόλις μερικές εκατοντάδες περιορισμούς ,η χρήση του αλγορίθμου AC-4 θα ήταν λιγότερο αποτελεσματική από αυτήν του AC-3. Στην ουσία , μπορούμε να πούμε ανεπίσημα ότι αν και ο AC4 έχει βέλτιστη χρονική πολυπλοκότητα χειρότερης περίπτωσης **O**, σχεδόν πάντα ο αλγόριθμος εκτελείται στην χειρότερη περίπτωση **O**. Επιπλέον , ακόμα κι όταν η φάση αρχικοποίησης τελειώσει , ο AC4 διατηρεί τόσο ακριβή στοιχεία της επεξεργασίας , που τον αναγκάζουν να πραγματοποιεί μεγάλη προσπάθεια αναβαθμίζοντας τους μετρητές και διατρέχοντας της λίστες του.

5.6. Fine-Grained VS Coarse-Grained Algorithms.

Ο AC4 είναι ο πρώτος αλγόριθμος που ανήκει στην κατηγορία “αλγόριθμων λεπτής άλεσης” (fine-grained' algorithms) [8], άρα και ο ιδρυτής αυτής της κατηγορίας. Η κατηγορία ονομάστηκε έτσι επειδή οι αλγόριθμοι που ανήκουν σε αυτήν, επιτυγχάνουν συνέπεια τόξου πραγματοποιώντας ελέγχους σε επίπεδο τιμών .Αντιθέτως οι “αλγόριθμοι χοντρής άλεσης” (coarse-grained' algorithms), όπως για παράδειγμα ο AC3, πραγματοποιούν ελέγχους σε επίπεδο τόξων ή μεταβλητών. Αυτή η τακτική των ελέγχων σε επίπεδο τόξων ή μεταβλητών θεωρείται λιγότερο ακριβής και ίσως μερικές φορές προβεί σε μη αναγκαίες ενέργειες ,οι οποίες θα μπορούσαν να αποφευχθούν. Παρόλα αυτά οι “αλγόριθμοι χοντρής άλεσης” παρουσιάζουν πλεονεκτήματα, όπως για παράδειγμα την έλλειψη επιπλέον δομών δεδομένων ,όπως οι λίστες $S[\mathbf{V}_j , \mathbf{b}_j]$, οι οποίες έχουν σημαντικό κόστος αρχικοποίησης και συντήρησης.

Κεφάλαιο 6

Προγραμματιστική Υλοποίηση

Στο κεφάλαιο 6 παρουσιάζονται στοιχεία που αφορούν την προγραμματιστική υλοποίηση των αλγορίθμων. Αρχικά παρατίθεται η εκτέλεση των αλγορίθμων σε μη γραφικό και σε γραφικό περιβάλλον. Έπειτα ακολουθεί η περιγραφή των δομών δεδομένων που χρησιμοποιούν οι δύο αλγόριθμοι. Τέλος παρουσιάζονται τα στατιστικά στοιχεία εκτέλεσης των αλγορίθμων για κάποια δεδομένα προβλήματα ικανοποίησης περιορισμών.

6.1. Υλοποίηση Αλγορίθμων

Στην παρούσα εργασία οι αλγόριθμοι AC-3 και AC-4 υλοποιήθηκαν προγραμματιστικά με τη χρήση της γλώσσας προγραμματισμού Java και είναι ενσωματωμένοι στο πρόγραμμα CSP. Οι αλγόριθμοι αυτοί αποτελούν βασικό συστατικό του προγράμματος “CSP” που τους χρησιμοποιεί με σκοπό να πραγματοποιήσει ελέγχους συνέπειας τόξου.

6.1.1 Γενική Περιγραφή Λειτουργίας Προγράμματος

Αρχικά το πρόγραμμα λαμβάνει ως είσοδο κάποια προβλήματα ικανοποίησης περιορισμών, αποθηκευμένα σε αρχεία κειμένου .txt ειδικής μορφολογίας. Κάθε τέτοιο πρόβλημα αποτελείται από τέσσερα αρχεία κειμένου, τα con, dom ,rel ,var. Τα αρχεία con περιέχουν το σύνολο των περιορισμών του προβλήματος και τις μεταβλητές που συμμετέχουν σε κάθε περιορισμό. Τα αρχεία dom περιέχουν το σύνολο των πεδίων ορισμού, το σύνολο των τιμών για κάθε πεδίο ορισμού και τις επιτρεπτές τιμές αυτών. Τα αρχεία rel περιέχουν όλους τους δυνατούς συνδυασμούς τιμών για κάθε ζευγάρι μεταβλητών που συμμετέχουν σε

κάποιον περιορισμό του προβλήματος. Τα αρχεία var περιέχουν τον συνολικό αριθμό των μεταβλητών του προβλήματος, καθώς και από ποιο πεδίο ορισμού παίρνουν τιμές αυτές οι μεταβλητές. Αυτά τα αρχεία πρέπει να βρίσκονται ήδη μέσα στον φάκελο που περιέχει τον κώδικα του προγράμματος, πριν την έναρξη της εκτέλεσης. Στη συνέχεια το πρόγραμμα διαβάζει τα δεδομένα του προβλήματος από τα αρχεία αυτά και τα αποθηκεύει σε εσωτερικές δομές δεδομένων.

Έπειτα εκτελεί τους αλγορίθμους AC-3 και AC-4 για κάθε τέτοιο πρόβλημα, με σκοπό να πετύχει συνέπεια τόξου. Αφού ολοκληρωθεί η εκτέλεση παρουσιάζει τα αποτελέσματα της εκτέλεσης για κάθε πρόβλημα. Τα αποτελέσματα αυτά αφορούν τον χρόνο εκτέλεσης, την μνήμη που καταναλώθηκε, τον αριθμό των τιμών που διαγράφηκαν από τα πεδία ορισμού των μεταβλητών και κάποια άλλα στοιχεία σχετικά με κάθε αλγόριθμο ξεχωριστά. Τέλος αφού τερματιστεί η διαδικασία εκτέλεσης για όλα τα προβλήματα παρουσιάζονται στατιστικά στοιχεία που περιλαμβάνουν τους μέσους όρους των αποτελεσμάτων εκτέλεσης.

6.1.2. Οι Κλάσεις του Προγράμματος

Για να πετύχει τα παραπάνω, το πρόγραμμα “CSP” χρησιμοποιεί επτά κλάσεις, καθεμία εκ των οποίων έχει ξεχωριστό και διακριτό ρόλο. Αυτές οι κλάσεις είναι οι csp, problemReaderClass, fileToArrayClass, ac3Class, ac4Class, statisticsClass και guiClass. Οι κλάσεις πρόκειται να αναλυθούν αμέσως, διευκρινίζοντας τα καθήκοντα που πρέπει να επιτελέσει καθεμία από αυτές ώστε να επιτευχθεί η ορθή λειτουργία του προγράμματος “CSP”.

Η κλάση csp είναι η κύρια κλάση, η οποία ελέγχει την ροή ολόκληρου του προγράμματος. Χρησιμοποιείται για να αρχικοποιήσει τους πίνακες που κρατάνε στοιχεία σχετικά με τα πεδία ορισμού των μεταβλητών και τους συνδυασμούς τιμών που ικανοποιούν κάθε περιορισμό του προβλήματος. Στη συνέχεια συλλέγει όλα τα απαραίτητα δεδομένα για κάθε πρόβλημα, εκτελεί τους αλγορίθμους AC-3 και AC-4 για κάθε πρόβλημα παρουσιάζοντας τα αποτελέσματα της εκτέλεσης. Τέλος παρουσιάζει τις στατιστικές πληροφορίες που εξήχθησαν από την εκτέλεση των αλγορίθμων.

Η κλάση `problemReaderClass` χρησιμοποιείται για να διαβάσει τα αρχεία των προβλημάτων. Αρχικά διαβάζει και αποθηκεύει τα ονόματα των προβλημάτων σε μια λίστα, η οποία στη συνέχεια ελέγχεται με σκοπό να εξαλειφθούν όσα προβλήματα δεν είναι ολοκληρωμένα, δηλαδή δεν περιέχουν και τα τέσσερα απαραίτητα αρχεία. Στη συνέχεια τα ονόματα των προβλημάτων που είναι ολοκληρωμένα και έγκυρα περνάνε στην κλάση `csr`, αποθηκευμένα σε μια λίστα.

Η κλάση `fileToArrayClass` συλλέγει όλες τις απαραίτητες πληροφορίες από τα αρχεία των προβλημάτων και τα αποθηκεύει στις εσωτερικές δομές δεδομένων του προβλήματος, έτσι ώστε να είναι πιο εύκολη και άμεση η επεξεργασία τους. Τέτοιου είδους πληροφορίες συμπεριλαμβάνουν τον αριθμό των προβλημάτων, των περιορισμών των μεταβλητών, των πεδίων ορισμού, των τιμών. Επίσης τους περιορισμούς του προβλήματος λαμβάνοντας υπ' όψη από ποιες μεταβλητές αποτελείται ο καθένας καθώς επίσης και τους επιτρεπτούς συνδυασμούς τιμών για κάθε ζευγάρι μεταβλητών που συμμετέχουν σε κάθε περιορισμό.

Η κλάση `ac3Class` υλοποιεί τον αλγόριθμο AC-3 και την διαδικασία `revise` που χρησιμοποιείται από αυτόν τον αλγόριθμο. Χρησιμοποιεί μια βοηθητική μέθοδο με σκοπό να εισάγει στην ουρά ελέγχου όλα τα τόξα των μεταβλητών που πρέπει να ελεγχθούν για συνέπεια.

Η κλάση `ac4Class` υλοποιεί τον αλγόριθμο AC-4 και την διαδικασία `initialize` που χρησιμοποιείται από αυτόν τον αλγόριθμο. Χρησιμοποιεί δύο βοηθητικές μεθόδους με σκοπό να αρχικοποιηθούν η λίστα και ο μετρητής που χρησιμοποιούνται από τον αλγόριθμο. Η λίστα κρατάει όλες τις τιμές που παρουσιάζουν υποστήριξη, ενώ ο μετρητής μετράει τον αριθμό των τιμών a_i κάθε μεταβλητής V_i που υποστηρίζονται από τις τιμές κάποιας άλλης μεταβλητής V_j .

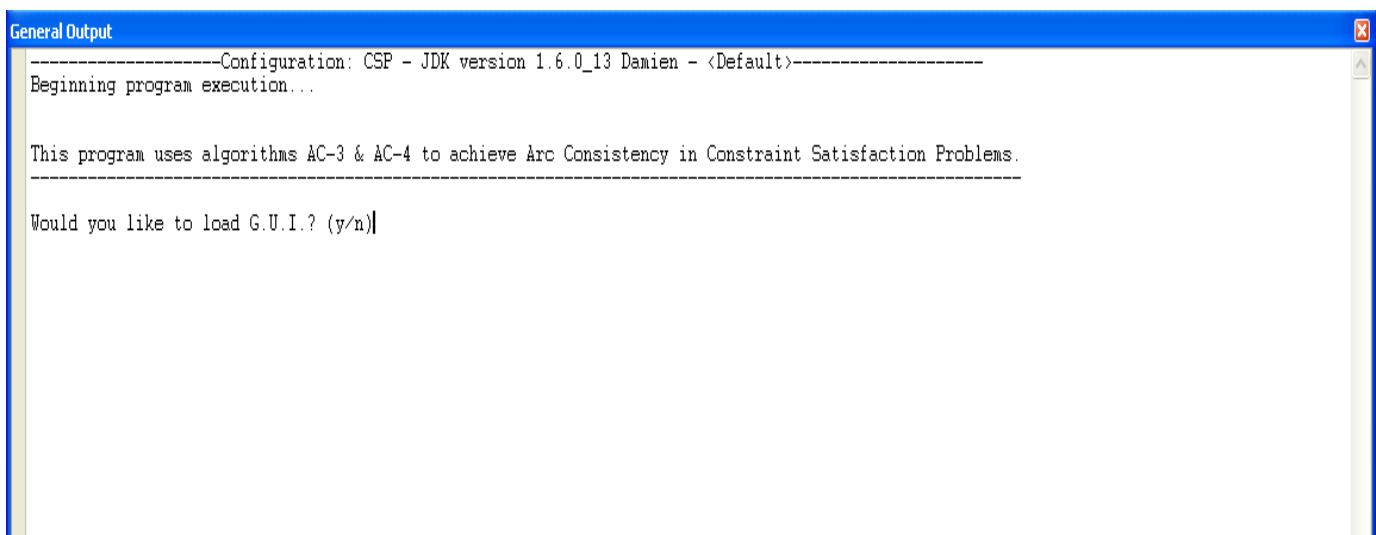
Η κλάση `statisticsClass` πραγματοποιεί διάφορες στατιστικές ενέργειες. Αυτές οι ενέργειες αφορούν τον χρόνο εκτέλεσης, την χρήση μνήμης, τον αριθμό των τιμών που διαγράφηκαν και τους ελέγχους και μετρήσεις που έγιναν από τους αλγορίθμους AC-3 και AC-4 αντίστοιχα. Αρχικά θέτει αυτές τις τιμές στο μηδέν και στην συνέχεια τις αυξάνει καθώς πρέπει, και τελικά παρουσιάζει τα στατιστικά αποτελέσματα.

Η κλάση `guiClass` είναι η κλάση του γραφικού περιβάλλοντος χρήστη, η οποία παρέχει την δυνατότητα χρήσης ενός γραφικού περιβάλλοντος, αν ο χρήστης το επιθυμεί. Αυτή η κλάση κατασκευάζει την διεπαφή και έπειτα προσθέτει αισθητήρες σε κάθε στοιχείο

της διεπαφής, όπως τα κουμπιά κτλ, για να ανιχνεύσει τις κινήσεις του χρήστη. Ο χρήστης μπορεί να προβεί σε κάποια συγκεκριμένη ενέργεια, όπως για παράδειγμα η ανίχνευση των προβλημάτων, όσες φορές επιθυμεί. Επίσης μπορεί να διακόψει την εκτέλεση κάποιας διαδικασίας, όποτε το επιθυμεί, αντιθέτως με την εκτέλεση του προγράμματος σε μη γραφικό περιβάλλον. Ο χρήστης μπορεί να τρέξει το πρόγραμμα και χωρίς την χρήση γραφικού περιβάλλοντος.

6.2. Εκτέλεση Αλγορίθμων

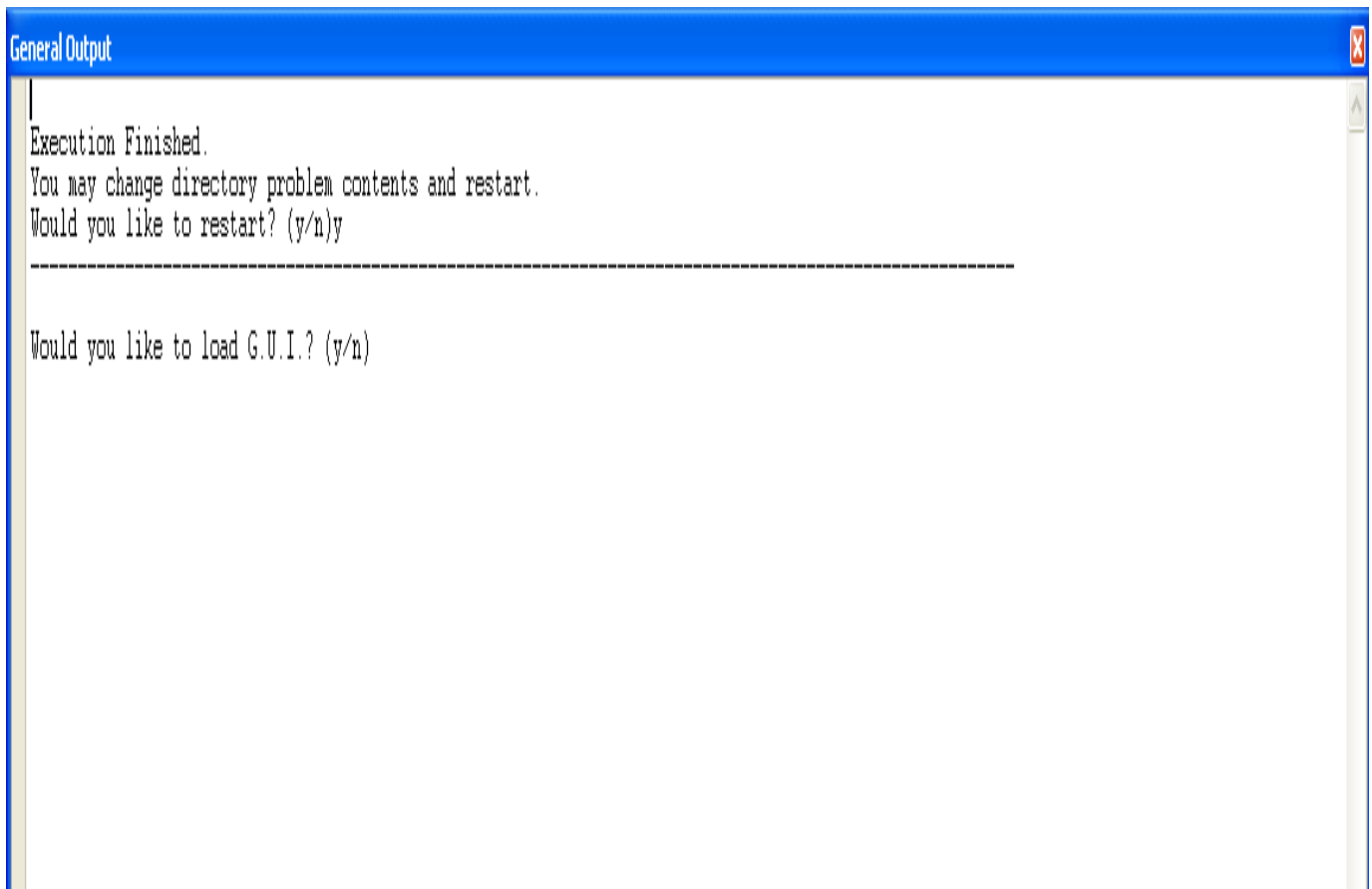
Όπως λέχθηκε προηγουμένως, με το πρόγραμμα CSP ο χρήστης έχει την δυνατότητα εκτέλεσης των αλγορίθμων με την χρήση ενός γραφικού περιβάλλοντος. Αν ο χρήστης δεν επιθυμεί να χρησιμοποιήσει το περιβάλλον τότε μπορεί να τρέξει τους αλγορίθμους και χωρίς αυτό. Κατά την έναρξη της εκτέλεσης του προγράμματος ο χρήστης ερωτάται αν επιθυμεί να χρησιμοποιήσει το γραφικό περιβάλλον. Κατά την ολοκλήρωση της εκτέλεσης του προγράμματος ο χρήστης ερωτάται αν επιθυμεί να επαναχρησιμοποιήσει το πρόγραμμα. Αυτές οι δύο καταστάσεις φαίνονται στις παρακάτω εικόνες.



```
General Output
-----Configuration: CSP - JDK version 1.6.0_13 Damien - <Default>-----
Beginning program execution...

This program uses algorithms AC-3 & AC-4 to achieve Arc Consistency in Constraint Satisfaction Problems.
-----
Would you like to load G.U.I.? (y/n)|
```

Σχήμα 6.2.α: Έναρξη εκτέλεσης προγράμματος



```
General Output
|
| Execution Finished.
| You may change directory problem contents and restart.
| Would you like to restart? (y/n)y
|-----
|
| Would you like to load G.U.I.? (y/n)
```

Σχήμα 6.2.β: Ολοκλήρωση εκτέλεσης προγράμματος

6.2.1. Εκτέλεση σε μη Γραφικό Περιβάλλον

Αν ο χρήστης επιλέξει να τρέξει το πρόγραμμα σε μη γραφικό περιβάλλον τότε το πρόγραμμα θα ακολουθήσει μια σειριακή εκτέλεση. Ο χρήστης δεν θα έχει την δυνατότητα αλληλεπίδρασης με το πρόγραμμα μέχρι να τελειώσει αυτή η εκτέλεση. Αρχικά λοιπόν θα εντοπιστούν τα έγκυρα αρχεία με τα προβλήματα εισόδου. Έπειτα τα δεδομένα των αρχείων θα αποθηκευτούν στις εσωτερικές δομές δεδομένων του προγράμματος για επεξεργασία. Θα εκτελεστούν οι αλγόριθμοι AC-3 & AC-4 για κάθε πρόβλημα ξεχωριστά και θα παρουσιαστούν τα αποτελέσματα της εκτέλεσης και τα στατιστικά στοιχεία. Ένα οπτικό παράδειγμα αυτής της διαδικασίας ακολουθεί στις παρακάτω εικόνες.

```

General Output
-----Configuration: CSP - JDK version 1.6.0_13 Damien - <Default>-----
Beginning program execution...

This program uses algorithms AC-3 & AC-4 to achieve Arc Consistency in Constraint Satisfaction Problems.
-----

Would you like to load G.U.I.? (y/n)n
Starting problem file detection procedure:
Problem detected: frb35-17-0.
Total problems detected: 1

Ending problem file detection procedure.

Starting consistency checking procedure:

//-----
Checking problem:      frb35-17-0:
Number of variables:   35
Number of constraints: 262
Number of domains:     1
Max domain values:    17
Initial value:         0
Final Value:           16

Initiating execution of AC-3 algorithm...

*
*
*

Execution of AC-3 has been completed.
Outputting results:

Total execution time:  0.027 seconds.
Maximum memory used :  2.259 megabytes
Total values deleted:  75
Total pairs checked:  61188

Values marked with:|
* are not defined.
0 are not supported.
1 are defined & supported.

    value:  0  1  2  3  4  5  6  7  8  9 10 11 12 13 14 15 16
variable 0:  1  1  1  0  1  1  0  1  1  0  1  1  1  1  1  1  0
variable 1:  1  1  1  1  1  1  1  1  0  1  1  1  1  1  1  1  1
variable 2:  1  0  1  0  1  1  1  1  1  1  1  1  1  0  1  1  1
variable 3:  1  1  1  1  1  1  1  1  1  1  1  1  1  1  1  0  1
variable 4:  1  0  1  1  1  1  1  1  1  1  1  1  1  1  1  1  1
variable 5:  1  1  1  1  1  1  1  0  0  1  1  1  1  1  1  1  1
variable 6:  1  1  1  0  1  0  1  1  0  1  1  1  1  1  1  0  1

```

Σχήμα 6.2.1.α: Παράδειγμα εκτέλεσης σε μη γραφικό περιβάλλον. Εντοπισμός αρχείων και εκτέλεση αλγορίθμου AC-3.


```

General Output
variable 7: 1 0 1 1 1 1 1 1 1 1 1 1 1 1 0 1 1
variable 8: 1 0 1 1 0 1 0 1 1 1 1 1 1 1 1 1 0
variable 9: 1 1 1 1 1 1 1 1 1 1 1 1 1 0 1 1 1
variable 10: 1 1 1 1 0 1 1 1 1 0 1 1 1 1 1 1 1
variable 11: 1 0 1 1 1 1 1 1 0 1 1 1 1 1 1 1 1
variable 12: 1 1 1 1 1 1 0 1 1 1 1 1 1 1 1 1 1
variable 13: 1 1 1 1 1 0 1 0 1 1 1 1 1 1 1 1 0
variable 14: 1 0 1 1 0 1 0 1 1 1 1 1 1 1 1 1 1
variable 15: 1 1 1 1 1 0 1 0 1 1 1 1 0 1 1 1 1
variable 16: 0 1 1 1 1 1 1 1 1 1 1 1 1 1 1 1 1
variable 17: 0 0 1 1 1 1 1 1 0 1 1 1 1 1 1 1 1
variable 18: 1 1 1 1 1 1 1 0 1 1 0 1 1 1 1 0 1
variable 19: 1 1 1 0 1 1 1 0 1 1 1 1 1 0 1 1 0
variable 20: 1 1 1 1 1 1 1 1 1 1 1 1 1 0 1 1 1
variable 21: 1 1 1 1 1 1 1 1 1 1 1 1 1 1 1 1 1
variable 22: 1 1 1 1 0 1 1 1 1 1 1 0 0 1 1 0 1
variable 23: 1 1 1 1 1 1 1 1 1 1 0 1 1 1 1 1 1
variable 24: 1 1 1 1 1 1 1 1 1 1 1 1 1 1 1 0 1
variable 25: 1 1 1 1 1 1 1 1 1 1 1 0 1 1 1 1 1
variable 26: 1 1 1 1 0 1 0 0 1 1 1 0 1 1 1 1 0
variable 27: 1 1 1 1 1 1 1 1 1 1 1 1 1 1 1 1 1
variable 28: 1 1 0 1 1 1 1 1 1 1 1 1 1 1 1 1 1
variable 29: 1 1 1 1 1 1 1 1 1 1 1 1 1 1 0 1 1
variable 30: 1 1 1 1 0 1 1 1 1 1 1 1 1 0 1 1 0
variable 31: 1 1 1 0 1 0 1 1 1 1 1 1 1 1 0 1 1
variable 32: 1 0 1 1 1 1 1 1 1 1 1 1 1 1 1 0 1
variable 33: 1 1 1 1 1 1 1 1 1 1 1 1 0 1 0 1 1
variable 34: 1 1 1 1 1 1 1 0 1 1 1 1 1 1 1 1 0

Rechecking problem: frb35-17-0.
Initiating execution of AC-4 algorithm...
*
*
*

Execution of AC-4 has been completed.
Outputting results:

Total execution time: 0.09257 seconds.
Maximum memory used : 2.53 megabytes
Total values deleted: 75
Total counter changes: 46821

Values marked with:
* are not defined.
0 are not supported.
1 are defined & supported.

value: 0 1 2 3 4 5 6 7 8 9 10 11 12 13 14 15 16
variable 0: 1 1 1 0 1 1 0 1 1 0 1 1 1 1 1 1 0
variable 1: 1 1 1 1 1 1 1 1 0 1 1 1 1 1 1 1 1
variable 2: 1 0 1 0 1 1 1 1 1 1 1 1 1 0 1 1 1
variable 3: 1 1 1 1 1 1 1 1 1 1 1 1 1 1 1 0 1
variable 4: 1 0 1 1 1 1 1 1 1 1 1 1 1 1 1 1 1
variable 5: 1 1 1 1 1 1 1 0 0 1 1 1 1 1 1 1 1
variable 6: 1 1 1 0 1 0 1 1 0 1 1 1 1 1 1 0 1
variable 7: 1 0 1 1 1 1 1 1 1 1 1 1 1 1 0 1 1
variable 8: 1 0 1 1 0 1 0 1 1 1 1 1 1 1 1 1 0

```

Σχήμα 6.2.1.β: Παράδειγμα εκτέλεσης σε μη γραφικό περιβάλλον. Εκτέλεση αλγορίθμων AC-3, AC-4

```

General Output
variable 1: 1 1 1 1 1 1 1 1 0 1 1 1 1 1 1 1 1
variable 2: 1 0 1 0 1 1 1 1 1 1 1 1 1 0 1 1 1
variable 3: 1 1 1 1 1 1 1 1 1 1 1 1 1 1 0 1
variable 4: 1 0 1 1 1 1 1 1 1 1 1 1 1 1 1 1 1
variable 5: 1 1 1 1 1 1 1 1 0 0 1 1 1 1 1 1 1
variable 6: 1 1 1 0 1 0 1 1 0 1 1 1 1 1 1 0 1
variable 7: 1 0 1 1 1 1 1 1 1 1 1 1 1 1 0 1 1
variable 8: 1 0 1 1 0 1 0 1 1 1 1 1 1 1 1 1 0
variable 9: 1 1 1 1 1 1 1 1 1 1 1 1 1 1 0 1 1
variable 10: 1 1 1 1 0 1 1 1 1 0 1 1 1 1 1 1 1
variable 11: 1 0 1 1 1 1 1 1 0 1 1 1 1 1 1 1 1
variable 12: 1 1 1 1 1 1 0 1 1 1 1 1 1 1 1 1 1
variable 13: 1 1 1 1 1 0 1 0 1 1 1 1 1 1 1 1 0
variable 14: 1 0 1 1 0 1 0 1 0 1 1 1 1 1 1 1 1
variable 15: 1 1 1 1 1 0 1 0 1 1 1 0 1 1 1 1 1
variable 16: 0 1 1 1 1 1 1 1 1 1 1 1 1 1 1 1 1
variable 17: 0 0 1 1 1 1 1 1 0 1 1 1 1 1 1 1 1
variable 18: 1 1 1 1 1 1 1 1 0 1 1 0 1 1 1 1 0
variable 19: 1 1 1 0 1 1 1 0 1 1 1 1 1 1 0 1 0
variable 20: 1 1 1 1 1 1 1 1 1 1 1 1 1 0 1 1 1
variable 21: 1 1 1 1 1 1 1 1 1 1 1 1 1 1 1 1 1
variable 22: 1 1 1 1 0 1 1 1 1 1 1 1 0 0 1 1 0
variable 23: 1 1 1 1 1 1 1 1 1 1 1 0 1 1 1 1 1
variable 24: 1 1 1 1 1 1 1 1 1 1 1 1 1 1 0 1 1
variable 25: 1 1 1 1 1 1 1 1 1 1 1 0 1 1 1 1 1
variable 26: 1 1 1 1 0 1 0 0 1 1 1 0 1 1 1 1 0
variable 27: 1 1 1 1 1 1 1 1 1 1 1 1 1 1 1 1 1
variable 28: 1 1 0 1 1 1 1 1 1 1 1 1 1 1 1 1 1
variable 29: 1 1 1 1 1 1 1 1 1 1 1 1 1 0 1 1 1
variable 30: 1 1 1 1 0 1 1 1 1 1 1 1 1 0 1 1 0
variable 31: 1 1 1 0 1 0 1 1 1 1 1 1 1 1 0 1 1
variable 32: 1 0 1 1 1 1 1 1 1 1 1 1 1 1 1 0 1
variable 33: 1 1 1 1 1 1 1 1 1 1 1 1 0 1 0 1 1
variable 34: 1 1 1 1 1 1 1 0 1 1 1 1 1 1 1 1 0

//-----

Ending consistency checking procedure.

Starting statistics procedure:

Outputting results...
Total problems checked for consistency: 1

Average consistency checking time for AC-3: 0.027 seconds
Average maximum memory usage for AC-3: 2.259 megabytes
Average number of values deleted by AC-3: 75
Average number of checks performed by AC-3: 61188

Average consistency checking time for AC-4: 0.09257 seconds
Average maximum memory usage for AC-4: 2.53 megabytes
Average number of values deleted by AC-4: 75
Average number of counts performed by AC-4: 46821

Ending statistics procedure.

Execution finished.
You may change directory problem contents and restart.
Would you like to restart? (y/n)

```

Σχήμα 6.2.1.γ: Παράδειγμα εκτέλεσης σε μη γραφικό περιβάλλον. Ολοκλήρωση εκτέλεσης και προβολή στατιστικών στοιχείων.

6.2.2 Εκτέλεση σε Γραφικό Περιβάλλον

Αν ο χρήστης επιλέξει να τρέξει το πρόγραμμα σε γραφικό περιβάλλον τότε το πρόγραμμα θα φορτώσει πρώτα την γραφική διεπαφή χρήστη. Ο χρήστης θα έχει την δυνατότητα αλληλεπίδρασης με το πρόγραμμα μέχρι να κλείσει το γραφικό περιβάλλον.

Η διεπαφή είναι σχεδιασμένη έτσι ώστε στο πάνω μέρος της να περιλαμβάνει ένα status bar ,το οποίο περιγράφει την τρέχουσα ενέργεια που εκτελείται. Όταν δεν εκτελείται καμία ενέργεια η περιγραφή της μπάρας είναι η “Waiting for your next action...”.Αυτή η περιγραφή αλλάζει κάθε φορά που ολοκληρώνεται κάποια ενέργεια είτε εκτελείται κάποια καινούρια ενέργεια.

Στο αριστερό μέρος της διεπαφής περιλαμβάνονται πέντε κουμπιά (buttons), τα detect, check, statistics, background color, font color, τα οποία μόλις πατηθούν εκτελούν ένα ξεχωριστό κομμάτι κώδικα το καθένα προβαίνοντας σε συγκεκριμένες ενέργειες. Κάποια από αυτά τα κουμπιά είναι στην αρχή “κλειδωμένα”, έτσι ώστε ο χρήστης να μην μπορεί να τα πατήσει μέχρι να επιτευχθεί κάποια ορισμένη νοητή κατάσταση, οπότε και κάποια κουμπιά θα “ξεκλειδωθούν” ενώ κάποια άλλα πιθανός να “κλειδωθούν”. Για παράδειγμα σε καμία περίπτωση ο χρήστης δεν μπορεί να πατήσει το κουμπί check πριν πατήσει το κουμπί detect, ούτε το κουμπί statistics πριν το check . Με αυτόν τον τρόπο ο χρήστης κατευθύνεται έμμεσα σε κάποιο προκαθορισμένο μονοπάτι.

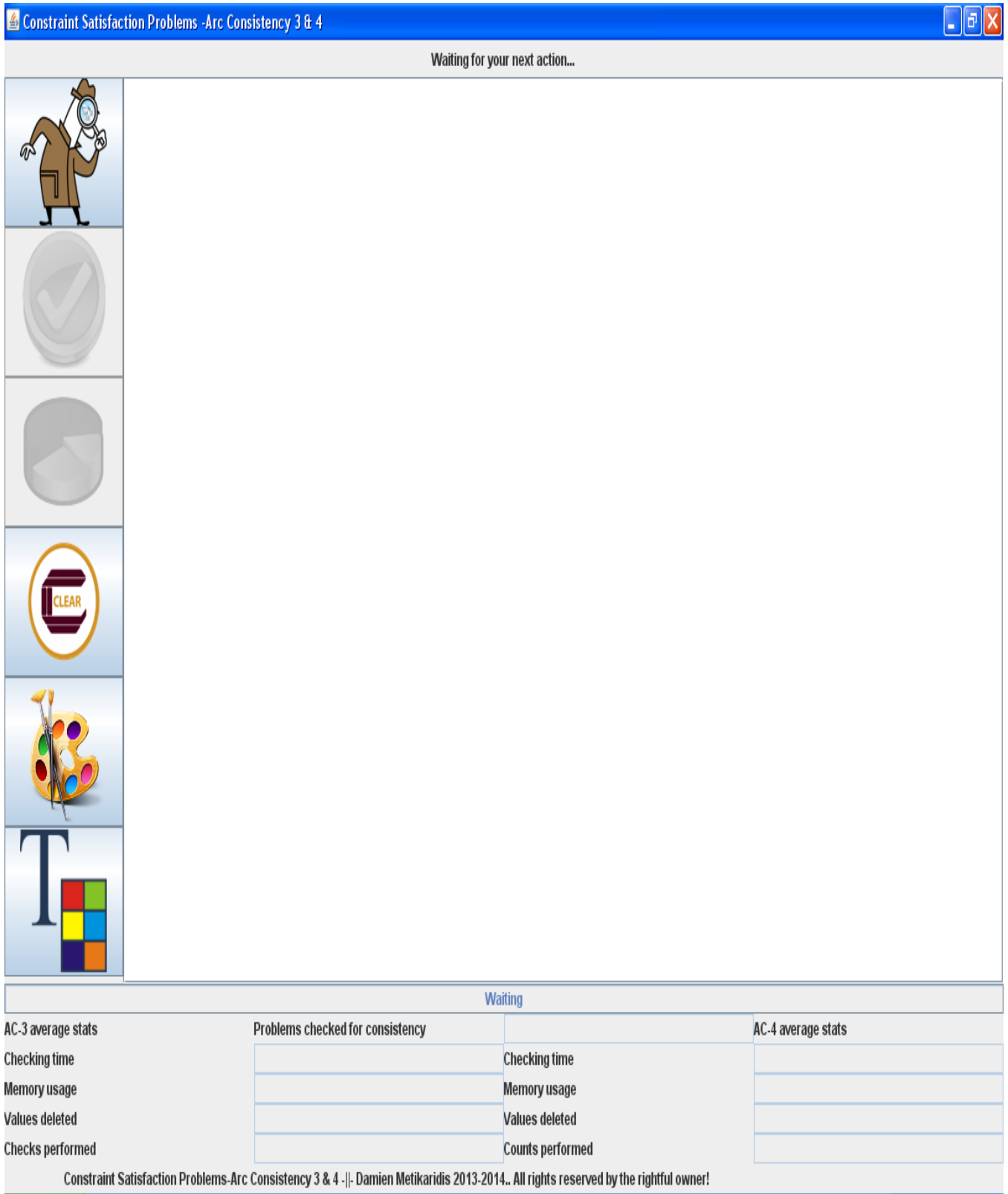
Πατώντας το κουμπί detect το πρόγραμμα εντοπίζει τα έγκυρα αρχεία εισόδου που έχουν αποθηκευμένα τα δεδομένα των προβλημάτων. Έπειτα πατώντας το κουμπί check ,τα δεδομένα των αρχείων αποθηκεύονται στις εσωτερικές δομές δεδομένων του προγράμματος για επεξεργασία και εκτελούνται οι αλγόριθμοι AC-3 & AC-4 για κάθε πρόβλημα ξεχωριστά. Αν ο χρήστης ξαναπατήσει οποιοδήποτε από αυτά τα κουμπιά ,πριν προλάβει να ολοκληρωθεί η ενέργεια που επιτελείται ,τότε η ενέργεια θα ακυρωθεί. Τέλος πατώντας το κουμπί statistics παρουσιάζονται τα στατιστικά στοιχεία της εκτέλεσης των αλγορίθμων. Επίσης ο χρήστης έχει την δυνατότητα να αλλάξει το χρώμα του background και της γραμματοσειράς οποιαδήποτε στιγμή επιθυμεί ,πατώντας τα κουμπιά background color και font color αντίστοιχα.

Στο κέντρο της διεπαφής εμφανίζονται όλα τα αποτελέσματα των ενεργειών που εκτελούνται αν πατηθεί κάποιο από τα κουμπιά που βρίσκονται στα αριστερά. Αυτά τα

αποτελέσματα περιλαμβάνουν αποτελέσματα αναζήτησης και αποτελέσματα ελέγχου. Χρησιμοποιώντας το scroll bar στα αριστερά ,ο χρήστης μπορεί να δει όλα αυτά τα αποτελέσματα.

Στο κάτω μέρος της διεπαφής υπάρχει μια μπάρα φόρτωσης η οποία δείχνει το επί τοις εκατό ποσοστό ολοκλήρωσης κάθε διαδικασίας που εκτελείται. Έπειτα ακολουθούν τα στατιστικά στοιχεία των αλγόριθμων που θα εξαχθούν μετά την ολοκλήρωση του ελέγχου συνέπειας για κάθε πρόβλημα. Αυτά τα στοιχεία αναφέρονται στον μέσο όρο του χρόνου εκτέλεσης, της χρήσης μνήμης, των τιμών που διαγράφηκαν από τα πεδία ορισμού και των ελέγχων-μετρήσεων που πραγματοποίησαν οι AC-3 και AC-4 αντίστοιχα. Τέλος γίνεται αναφορά στα πνευματικά δικαιώματα της εφαρμογής.

Ένα οπτικό παράδειγμα αυτής της διαδικασίας ακολουθεί στις παρακάτω εικόνες.



Σχήμα 6.2.2.α: Παράδειγμα εκτέλεσης σε γραφικό περιβάλλον. Αρχική κατάσταση γραφικού περιβάλλοντος.

Constraint Satisfaction Problems -Arc Consistency 3 & 4

Detection process completed.

//-----//

Starting problem file detection procedure:

Problem detected: frb35-17-0.

Total problems detected: 1

Ending problem file detection procedure.

//-----//

Finished.

AC-3 average stats	Problems checked for consistency		AC-4 average stats
Checking time		Checking time	
Memory usage		Memory usage	
Values deleted		Values deleted	
Checks performed		Counts performed	

Constraint Satisfaction Problems-Arc Consistency 3 & 4 -|- Damien Metikaridis 2013-2014.. All rights reserved by the rightful owner!

Σχήμα 6.2.2.β: Παράδειγμα εκτέλεσης σε γραφικό περιβάλλον. Ολοκλήρωση διαδικασίας εντοπισμού αρχείων ,με αλλαγμένο background και font color

Constraint Satisfaction Problems -Arc Consistency 3 & 4

Checking problems...

Starting consistency checking procedure:

//-----//

Checking problem: frb30-15-0:
 Number of variables: 30
 Number of constraints: 217
 Number of domains: 1
 Max domain values: 15
 Initial value: 0
 Final Value: 14

Initiating execution of AC-3 algorithm...

*
*
*

Execution of AC-3 has been completed.
 Outputting results:

Total execution time: 0.07587 seconds.
 Maximum memory used : 1.744 megabytes
 Total values deleted: 450
 Total pairs checked: 43109

Values marked with:
 * are not defined.
 0 are not supported.
 1 are defined & supported.

value:	0	1	2	3	4	5	6	7	8	9	10	11	12	13	14
variable 0:	0	0	0	0	0	0	0	0	0	0	0	0	0	0	0
variable 1:	0	0	0	0	0	0	0	0	0	0	0	0	0	0	0
variable 2:	0	0	0	0	0	0	0	0	0	0	0	0	0	0	0
variable 3:	0	0	0	0	0	0	0	0	0	0	0	0	0	0	0
variable 4:	0	0	0	0	0	0	0	0	0	0	0	0	0	0	0
variable 5:	0	0	0	0	0	0	0	0	0	0	0	0	0	0	0
variable 6:	0	0	0	0	0	0	0	0	0	0	0	0	0	0	0
variable 7:	0	0	0	0	0	0	0	0	0	0	0	0	0	0	0

Processing (62%)

AC-3 average stats	Problems checked for consistency	AC-4 average stats
Checking time		Checking time
Memory usage		Memory usage
Values deleted		Values deleted
Checks performed		Counts performed

Constraint Satisfaction Problems-Arc Consistency 3 & 4 -||- Damien Metikaridis 2013-2014.. All rights reserved by the rightful owner!

Σχήμα 6.2.2.γ: Παράδειγμα εκτέλεσης σε γραφικό περιβάλλον. Ενδιάμεσο σημείο διαδικασίας ελέγχου συνεπειών ,με αλλαγμένο background και font color.

Constraint Satisfaction Problems -Arc Consistency 3 & 4

Checking process completed.

Starting consistency checking procedure:

```
//-----//
```

Checking problem: frb35-17-0:
 Number of variables: 35
 Number of constraints: 262
 Number of domains: 1
 Max domain values: 17
 Initial value: 0
 Final Value: 16

Initiating execution of AC-3 algorithm...

```
*
*
*
```

Execution of AC-3 has been completed.
 Outputting results:

Total execution time: 0.06698 seconds.
 Maximum memory used : 2.431 megabytes
 Total values deleted: 75
 Total pairs checked: 61188

Values marked with:
 * are not defined.
 0 are not supported.
 1 are defined & supported.

```
value: 0 1 2 3 4 5 6 7 8 9 10 11 12 13 14 15 16
variable 0: 1 1 1 0 1 1 0 1 1 0 1 1 1 1 1 1 0
variable 1: 1 1 1 1 1 1 1 1 0 1 1 1 1 1 1 1 1
variable 2: 1 0 1 0 1 1 1 1 1 1 1 1 1 0 1 1 1
variable 3: 1 1 1 1 1 1 1 1 1 1 1 1 1 1 1 0 1
variable 4: 1 0 1 1 1 1 1 1 1 1 1 1 1 1 1 1 1
variable 5: 1 1 1 1 1 1 1 0 0 1 1 1 1 1 1 1 1
variable 6: 1 1 1 0 1 0 1 1 0 1 1 1 1 1 1 0 1
variable 7: 1 0 1 1 1 1 1 1 1 1 1 1 1 1 0 1 1
variable 8: 1 0 1 1 0 1 0 1 1 1 1 1 1 1 1 1 0
```

Finished.

AC-3 average stats	Problems checked for consistency	AC-4 average stats
Checking time		Checking time
Memory usage		Memory usage
Values deleted		Values deleted
Checks performed		Counts performed

Constraint Satisfaction Problems-Arc Consistency 3 & 4 -| Damien Metikaridis 2013-2014.. All rights reserved by the rightful owner!

Σχήμα 6.2.2.δ: Παράδειγμα εκτέλεσης σε γραφικό περιβάλλον. Ολοκλήρωση διαδικασίας ελέγχου συνεπειών ,με αλλαγμένο background και font color.

Constraint Satisfaction Problems -Arc Consistency 3 & 4

Waiting for your next action...

variable 9:	1 1 1 1 1 1 1 1 1 1 1 1 1 1 1 0 1 1 1
variable 10:	1 1 1 1 0 1 1 1 1 0 1 1 1 1 1 1 1 1 1
variable 11:	1 0 1 1 1 1 1 1 0 1 1 1 1 1 1 1 1 1 1
variable 12:	1 1 1 1 1 1 0 1 1 1 1 1 1 1 1 1 1 1 1
variable 13:	1 1 1 1 1 0 1 0 1 1 1 1 1 1 1 1 1 1 0
variable 14:	1 0 1 1 0 1 0 1 1 1 1 1 1 1 1 1 1 1 1
variable 15:	1 1 1 1 1 0 1 0 1 1 1 1 0 1 1 1 1 1 1
variable 16:	0 1 1 1 1 1 1 1 1 1 1 1 1 1 1 1 1 1 1
variable 17:	0 0 1 1 1 1 1 1 0 1 1 1 1 1 1 1 1 1 1
variable 18:	1 1 1 1 1 1 1 0 1 1 0 1 1 1 1 1 1 0 1
variable 19:	1 1 1 0 1 1 1 0 1 1 1 1 1 0 1 1 1 0 1
variable 20:	1 1 1 1 1 1 1 1 1 1 1 1 1 1 0 1 1 1 1
variable 21:	1 1 1 1 1 1 1 1 1 1 1 1 1 1 1 1 1 1 1
variable 22:	1 1 1 1 0 1 1 1 1 1 1 1 0 0 1 1 0 1 1
variable 23:	1 1 1 1 1 1 1 1 1 1 1 0 1 1 1 1 1 1 1
variable 24:	1 1 1 1 1 1 1 1 1 1 1 1 1 1 1 0 1 1 1
variable 25:	1 1 1 1 1 1 1 1 1 1 1 1 1 0 1 1 1 1 1
variable 26:	1 1 1 1 0 1 0 0 1 1 1 0 1 1 1 1 1 1 0
variable 27:	1 1 1 1 1 1 1 1 1 1 1 1 1 1 1 1 1 1 1
variable 28:	1 1 0 1 1 1 1 1 1 1 1 1 1 1 1 1 1 1 1
variable 29:	1 1 1 1 1 1 1 1 1 1 1 1 1 1 1 0 1 1 1
variable 30:	1 1 1 1 0 1 1 1 1 1 1 1 1 1 1 0 1 1 0
variable 31:	1 1 1 0 1 0 1 1 1 1 1 1 1 1 1 1 0 1 1
variable 32:	1 0 1 1 1 1 1 1 1 1 1 1 1 1 1 1 1 0 1
variable 33:	1 1 1 1 1 1 1 1 1 1 1 1 1 1 0 1 0 1 1
variable 34:	1 1 1 1 1 1 1 0 1 1 1 1 1 1 1 1 1 1 0

Rechecking problem: frb35-17-0.
Initiating execution of AC-4 algorithm...
*
*
*

Execution of AC-4 has been completed.
Outputting results:

Total execution time: 0.13231 seconds.
Maximum memory used : 3.046 megabytes
Total values deleted: 75

Waiting			
AC-3 average stats	Problems checked for consistency	1	AC-4 average stats
Checking time	0.06698	Checking time	0.13231
Memory usage	2.431	Memory usage	3.046
Values deleted	75	Values deleted	75
Checks performed	61188	Counts performed	46821

Constraint Satisfaction Problems-Arc Consistency 3 & 4 -|- Damien Metikaridis 2013-2014.. All rights reserved by the rightful owner!

Σχήμα 6.2.2.ε: Παράδειγμα εκτέλεσης σε γραφικό περιβάλλον .Προβολή στατιστικών στοιχείων στο κάτω μέρος της εφαρμογής ,με αλλαγμένο background και font color.

6.3 Οι Δομές Δεδομένων των Αλγορίθμων

Πέραν των όσων λέχθηκαν θεωρητικά στα προηγούμενα κεφάλαια για τις δομές δεδομένων που χρησιμοποιούν οι αλγόριθμοι AC-3 και AC-4, κρίνεται σκόπιμο να αναφερθούν σε αυτό το σημείο οι δομές δεδομένων που χρησιμοποιήθηκαν για να επιτευχθεί η συγκεκριμένη προγραμματιστική υλοποίηση των αλγορίθμων αυτών. Αυτό θα καθιστήσει πιο εύκολη την ανάγνωση του κώδικα, αλλά και την κατανόησή του. Στην συνέχεια θα γίνει αναφορά αυτών των δομών για κάθε αλγόριθμο.

6.3.1 Δομές Δεδομένων του AC-3

Κατά την προγραμματιστική υλοποίηση αυτής της εργασίας ο αλγόριθμος AC-3 χρησιμοποιεί τις δομές δεδομένων `constraints`, `relFileData`, `variableDomain` και `queue`.

Η δομή `constraints` είναι ένας δυσδιάστατος πίνακας ,ο οποίος κρατάει τις μεταβλητές που συμμετέχουν σε κάθε δυαδικό περιορισμό. Ο αλγόριθμος χρησιμοποιεί αυτόν τον πίνακα για να ελέγξει αν υφίσταται κάποιος περιορισμός μεταξύ δύο συγκεκριμένων μεταβλητών.

Η δομή `relFileData`, είναι ένας τετραδιάστατος πίνακας ,ο οποίος κρατάει τα ζευγάρια τιμών που παίρνουν τα ζευγάρια μεταβλητών ώστε να ικανοποιείται κάθε περιορισμός. Ο αλγόριθμος χρησιμοποιεί αυτόν τον πίνακα για να ελέγξει αν ισχύει η συνέπεια τόξου μεταξύ δύο μεταβλητών σε κάθε περιορισμό.

Η δομή `variableDomain` είναι ένας δυσδιάστατος πίνακας ,ο οποίος κρατάει τις τιμές που ανήκουν στο πεδίο ορισμού κάθε μεταβλητής. Είναι η πιο σημαντική δομή στο πρόγραμμα ,καθώς ο στόχος των αλγορίθμων είναι να θέσουν όσο περισσότερες τιμές αυτού του πίνακα μπορούν ίσες με μηδέν, δηλαδή να αφαιρέσουν αυτές τις τιμές από το πεδίο ορισμού των μεταβλητών ώστε να επιτευχθεί συνέπεια τόξου.

Η δομή `queue` είναι μια ουρά η οποία κρατάει τα τόξα του δικτύου, ή αλλιώς τους περιορισμούς του προβλήματος. Ο αλγόριθμος χρησιμοποιεί αυτήν την ουρά για να αποθηκεύσει όλα τα τόξα τα οποία χρειάζεται να ελεγχθούν για συνέπεια τόξου.

Για να γίνουν κατανοητές αυτές οι δομές ας υποθέσουμε ότι έχουμε για παράδειγμα τις μεταβλητές x, y, z και τον περιορισμό $x > y$ με $Dx = \{1,2,3,4\}$, $Dy = \{2,3\}$ και $Dz = \{2,4\}$.Αν

αναπαραστήσουμε την μεταβλητή x με τον αριθμό 1 ,την μεταβλητή y με τον αριθμό 2 και την μεταβλητή z με τον αριθμό 3,τότε θα ισχύουν τα επακόλουθα:

Τα στοιχεία `constraints[1][2]` και `constraints[2][1]` κρατάνε την τιμή 1 ,που σημαίνει ότι υφίσταται κάποιος περιορισμός μεταξύ των μεταβλητών 1 και 2. Ενώ για παράδειγμα το στοιχείο `constraints[1][3]` κρατάει την τιμή 0 ,επειδή δεν υφίσταται κανένας περιορισμός μεταξύ των μεταβλητών 1 και 3.

Επίσης το στοιχείο `relFileData[1][2][3][2]` κρατάει την τιμή 1, το οποίο σημαίνει ότι αν η μεταβλητή 1 πάρει την τιμή 3 και η μεταβλητή 2 πάρει την τιμή 2 ο περιορισμός μεταξύ αυτών των δύο μεταβλητών ικανοποιείται. Αντίθετα το στοιχείο `relFileData[1][2][3][3]` κρατάει την τιμή 0 γιατί για τις τιμές 3 και 3 ο περιορισμός μεταξύ των μεταβλητών 1 και 2 δεν ικανοποιείται.

Το στοιχείο `variableDomain[1][1]` κρατάει την τιμή 1 γιατί η μεταβλητή 1 μπορεί να πάρει την τιμή 1, σύμφωνα με το πεδίο ορισμού της. Ωστόσο το στοιχείο `variableDomain[2][1]` κρατάει την τιμή 0 γιατί η μεταβλητή 2 δεν μπορεί να πάρει την τιμή 1, σύμφωνα με το πεδίο ορισμού της.

Η ουρά Q κρατάει το τόξο 1,2 το οποίο σημαίνει ότι υφίσταται ένας περιορισμός μεταξύ των μεταβλητών 1 και 2, ο οποίος πρέπει να ελεγχθεί για συνέπεια.

6.3.2 Δομές Δεδομένων του AC-4

Κατά την προγραμματιστική υλοποίηση αυτής της εργασίας ο αλγόριθμος AC-4 χρησιμοποιεί τις δομές δεδομένων, `constraints`, `relFileData`, `variableDomain`, `queue`, `sList` και `counter`.

Η δομή `constraints` είναι ένας δυσδιάστατος πίνακας ,ο οποίος κρατάει τις μεταβλητές που συμμετέχουν σε κάθε δυαδικό περιορισμό. Ο αλγόριθμος χρησιμοποιεί αυτόν τον πίνακα για να ελέγξει αν υφίσταται κάποιος περιορισμός μεταξύ δύο συγκεκριμένων μεταβλητών.

Η δομή `relFileData`, είναι ένας τετραδιάστατος πίνακας ,ο οποίος κρατάει τα ζευγάρια τιμών που παίρνουν τα ζευγάρια μεταβλητών ώστε να ικανοποιείται κάθε περιορισμός. Ο αλγόριθμος χρησιμοποιεί αυτόν τον πίνακα για να ελέγξει αν υπάρχει συνέπεια τόξου μεταξύ δύο μεταβλητών σε κάθε περιορισμό.

Η δομή `variableDomain` είναι ένας δυσδιάστατος πίνακας ,ο οποίος κρατάει τις τιμές που ανήκουν στο πεδίο ορισμού κάθε μεταβλητής. Είναι η πιο σημαντική δομή στο πρόγραμμα ,καθώς ο στόχος των αλγορίθμων είναι να θέσουν όσο περισσότερες τιμές αυτού του πίνακα μπορούν ίσες με μηδέν, δηλαδή να αφαιρέσουν αυτές τις τιμές από το πεδίο ορισμού των μεταβλητών ώστε να επιτευχθεί συνέπεια τόξου.

Η δομή `queue` είναι μια ουρά που κρατάει τα ζευγάρια “τιμή ,μεταβλητή” που δεν υποστηρίζονται από κάποια άλλη ,οποιαδήποτε μεταβλητή. Ο αλγόριθμος χρησιμοποιεί αυτήν την ουρά μέχρι να αδειάσουν όλα τα περιεχόμενά της, οπότε και εξασφαλίζεται η συνέπεια τόξου.

Η δομή `sList` είναι μια λίστα που κρατάει τις μεταβλητές V_i και τις τιμές τους a_i σε ζεύγη της μορφής $\langle V_i, a_i \rangle$ που υποστηρίζουν την τιμή b_j της μεταβλητής V_j . Για παράδειγμα ο δείκτης της λίστα με αριθμό $V_j * \text{numberOfValues} + b_j$,κρατάει όλα τα ζευγάρια της μορφής V_i, a_i που υποστηρίζουν την τιμή b_j της μεταβλητής V_j

Η δομή `counter` είναι ένας δυαδικός πίνακας που λειτουργεί σαν μετρητής. Αυτός ο μετρητής τελικά μετράει πόσες τιμές της μεταβλητής V_j υποστηρίζουν την τιμή a_i της μεταβλητής V_i ,αποθηκεύοντας αυτόν τον αριθμό στο στοιχείο `counter` $[V_i * \text{numberOfValues} + a_i][V_j]$, όπου `numberOfValues` είναι ο αριθμός των τιμών του πεδίου ορισμού με τις περισσότερες τιμές.

Αν επικαλεστούμε πάλι το παράδειγμα που είδαμε στην προηγούμενη ενότητα ,τότε το πεδίο ορισμού με τις περισσότερες τιμές είναι το $D_x = D_1$ το οποίο έχει `numberOfValues=4` τιμές .Αν θέλουμε να δούμε πόσες τιμές της μεταβλητής x (1) υποστηρίζουν την τιμή 3 της μεταβλητής y (2) ,αρκεί να καλέσουμε το στοιχείο `counter` $[2*4+3][1]$, το οποίο πρέπει να κρατάει την τιμή 4, γιατί μόνο η τιμή 4 του πεδίου $D_x = D_1$ ικανοποιεί τον περιορισμό $x > y$ όταν το y ισούται με 3.

6.4 Στατιστικά Στοιχεία Εκτέλεσης

Σε αυτήν την ενότητα θα παρουσιαστούν τα στατιστικά στοιχεία από την εκτέλεση των αλγορίθμων με είσοδο κάποια δεδομένα προβλήματα. Η εκτέλεση έγινε σε μη γραφικό περιβάλλον.

Τα προβλήματα που χρησιμοποιούνται χωρίζονται στις κατηγορίες frb, geo, qcp, qwh, Langford, composed, driver, blackhole και hanoi. Αυτά τα προβλήματα παρουσιάζουν διαφορετικό αριθμό περιορισμών, αριθμό μεταβλητών, αριθμό πεδίων ορισμού και μέγεθος μέγιστου πεδίου ορισμού έτσι ώστε να επιτευχθεί μια πολύπλευρη μελέτη της συμπεριφοράς των αλγορίθμων υπό διαφορετικές και ξεχωριστές συνθήκες κάθε φορά.

Το υπολογιστικό σύστημα στο οποίο έγινε η εκτέλεση των αλγορίθμων χρησιμοποιεί λειτουργικό σύστημα Windows xp, με επεξεργαστή CPU quad core συχνότητας 2.4Ghz, Cache size 8MB και RAM ίση με 3GB.

6.4.1 Τα Προβλήματα FRB.

Όπως φαίνεται από τα παρακάτω στατιστικά στοιχεία για τα προβλήματα που έχουν μερικές δεκάδες μεταβλητές, και μερικές εκατοντάδες περιορισμούς, ο αλγόριθμος AC-3 πετυχαίνει καλύτερο χρόνο εκτέλεσης απ'ότι ο AC-4. Φυσικά ο AC-3 έχει πάντα λιγότερη χρήση μνήμης από τον AC-4. Και οι δύο αλγόριθμοι καταφέρνουν να διαγράψουν τον ίδιο αριθμό τιμών από τα πεδία ορισμού των μεταβλητών.

Όπου “cons” είναι το πλήθος των περιορισμών του προβλήματος, “vars” είναι το πλήθος των μεταβλητών του προβλήματος, “doms” είναι το πλήθος των πεδίων ορισμού του προβλήματος, “max dom size” είναι το μέγεθος του μεγαλύτερου πεδίου ορισμού του προβλήματος, “dels” είναι το πλήθος των διαγραφών που πραγματοποίησαν οι αλγόριθμοι, “time AC-3” είναι ο χρόνος που χρειάστηκε ο AC-3 για να εκτελεστεί (σε δευτερόλεπτα), “time AC-4” είναι ο χρόνος που χρειάστηκε ο AC-4 για να εκτελεστεί, “Mem AC-3” είναι η μνήμη που κατανάλωσε ο AC-3 για να εκτελεστεί (σε megabytes) και “Mem AC-4” είναι η μνήμη που κατανάλωσε ο AC-4 για να εκτελεστεί.

FRB	Cons	Vars	Doms	Max Dom Size	Dels	Time AC-3	Time AC-4	Mem AC-3	Mem AC-4
30-15-0	217	30	1	15	450	0.034	0.064	1.562	1.620
35-17-0	262	35	1	17	75	0.022	0.087	2.002	2.531

40-19-0	321	40	1	19	48	0.027	0.129	3.020	3.811
45-21-0	378	45	1	21	49	0.030	0.203	4.421	5.571
50-23-0	435	50	1	23	11	0.029	0.318	6.299	8.54
Average	323	40	1	19	109	0.029	0.194	4.193	5.582

Πίνακας 6.4.1.α: Στατιστικά στοιχεία εκτέλεσης προβλημάτων frb.

```

General Output

Checking problem:          frb35-17-0:
Number of variables:      35
Number of constraints:    262
Number of domains:        1
Max domain values:        17
Initial value:            0
Final Value:              16

Average consistency checking time for AC-3: 0.02379 seconds
Average maximum memory usage for AC-3:     2.001 megabytes
Average number of values deleted by AC-3:   75
Average number of checks performed by AC-3: 61188

Average consistency checking time for AC-4: 0.08583 seconds
Average maximum memory usage for AC-4:     2.53 megabytes
Average number of values deleted by AC-4:   75
Average number of counts performed by AC-4: 46821

```

Σχήμα 6.4.1.α: Στατιστικά στοιχεία εκτέλεσης προβλήματος frb35-17-0

```

General Output

Checking problem:          frb53-24-0:
Number of variables:      53
Number of constraints:    476
Number of domains:        1
Max domain values:        24
Initial value:            0
Final Value:              23

Average consistency checking time for AC-3: 0.03792 seconds
Average maximum memory usage for AC-3:     7.758 megabytes
Average number of values deleted by AC-3:   21
Average number of checks performed by AC-3: 95197

Average consistency checking time for AC-4: 0.39873 seconds
Average maximum memory usage for AC-4:     9.665 megabytes
Average number of values deleted by AC-4:   21
Average number of counts performed by AC-4: 154790

```

Σχήμα 6.4.1.β: Στατιστικά στοιχεία εκτέλεσης προβλήματος frb53-24-0

6.4.2 Τα Προβλήματα GEO.

Με βάση τα επακόλουθα στατιστικά στοιχεία, το ίδιο εξακολουθεί και για τα προβλήματα geo που έχουν επίσης μερικές δεκάδες μεταβλητές, και μερικές εκατοντάδες περιορισμούς. Δηλαδή ο αλγόριθμος AC-3 πετυχαίνει καλύτερο χρόνο εκτέλεσης απ'ότι ο AC-4. Φυσικά ο AC-3 έχει πάντα λιγότερη χρήση μνήμης από τον AC-4. Και οι δύο αλγόριθμοι καταφέρνουν να διαγράψουν τον ίδιο αριθμό τιμών από τα πεδία ορισμού των μεταβλητών.

GEO	Cons	Vars	Doms	Max Dom Size	Dels	Time AC-3	Time AC-4	Mem AC-3	Mem AC-4
50-20-d4-75-1	472	50	1	20	1000	0.148	0.259	6.375	7.503
50-20-d4-75-2	466	50	1	20	1000	0.139	0.250	6.375	7.508
50-20-d4-75-3	394	50	1	20	72	0.072	0.192	6.375	7.385
50-20-d4-75-4	418	50	1	20	92	0.073	0.196	6.375	7.409
50-20-d4-75-5	368	50	1	20	66	0.069	0.175	6.375	7.324
50-20-d4-75-6	376	50	1	20	102	0.070	0.180	6.375	7.333
50-20-d4-75-7	471	50	1	20	1000	0.146	0.249	6.375	7.501
50-20-d4-75-8	477	50	1	20	93	0.078	0.237	6.375	7.532
50-20-d4-75-9	451	50	1	20	109	0.073	0.225	6.375	7.498
50-20-d4-75-10	459	50	1	20	111	0.086	0.229	6.697	7.490
Average	435	50	1	20	364	0.095	0.219	6.407	7.448

Πίνακας 6.4.2.α: Στατιστικά στοιχεία εκτέλεσης προβλημάτων geo.

General Output

```
Checking problem:          geo50-20-d4-75-5_ext :
Number of variables:      50
Number of constraints:    368
Number of domains:       1
Max domain values:       20
Initial value:           1
Final Value:             20
```

```
Average consistency checking time for AC-3: 0.03058 seconds
Average maximum memory usage for AC-3:      5.308 megabytes
Average number of values deleted by AC-3:    66
Average number of checks performed by AC-3:  90047
```

```
Average consistency checking time for AC-4: 0.13568 seconds
Average maximum memory usage for AC-4:      6.258 megabytes
Average number of values deleted by AC-4:    66
Average number of counts performed by AC-4:  71900
```

Σχήμα 6.4.2.α: Στατιστικά στοιχεία εκτέλεσης προβλήματος geo50-20-d4-75-5_ext

General Output

```
Checking problem:          geo50-20-d4-75-10_ext :
Number of variables:      50
Number of constraints:    459
Number of domains:       1
Max domain values:       20
Initial value:           1
Final Value:             20
```

```
Average consistency checking time for AC-3: 0.03821 seconds
Average maximum memory usage for AC-3:      5.307 megabytes
Average number of values deleted by AC-3:    111
Average number of checks performed by AC-3:  139348
```

```
Average consistency checking time for AC-4: 0.1834 seconds
Average maximum memory usage for AC-4:      6.486 megabytes
Average number of values deleted by AC-4:    111
Average number of counts performed by AC-4:  92047
```

Σχήμα 6.4.2.β: Στατιστικά στοιχεία εκτέλεσης προβλήματος geo50-20-d4-75-10_ext

6.4.3 Τα Προβλήματα QCP.

Τα προβλήματα QCP χωρίζονται σε τέσσερις υποκατηγορίες. Καθεμία από αυτές έχει διαφορετικό αριθμό περιορισμών, μεταβλητών, πεδίων ορισμού και μέγεθος μέγιστου πεδίου ορισμού. Κατά την εκτέλεση αυτών των προβλημάτων γίνεται πλέον φανερό ότι καθώς ο αριθμός των πεδίων ορισμού αυξάνεται, ο αριθμός των μεταβλητών ξεπερνά τις μερικές

δεκάδες και ο αριθμός των περιορισμών ξεπερνά τις μερικές εκατοντάδες , ο αλγόριθμος AC-3 αρχίζει να πετυχαίνει χειρότερο χρόνο εκτέλεσης απ'ότι ο AC-4. Φυσικά ο AC-3 έχει πάντα λιγότερη χρήση μνήμης από τον AC-4. Και οι δύο αλγόριθμοι καταφέρνουν να διαγράψουν τον ίδιο αριθμό τιμών από τα πεδία ορισμού των μεταβλητών.

QCP	Cons	Vars	Doms	Max Dom Size	Dels	Time AC-3	Time AC-4	Mem AC-3	Mem AC-4
10-67-0	900	100	11	10	364	0.098	0.094	6.535	7.074
10-67-1	900	100	11	10	355	0.088	0.084	6.274	7.076
10-67-2	900	100	11	10	371	0.091	0.081	6.284	7.075
10-67-3	900	100	11	10	368	0.091	0.085	6.284	7.072
10-67-4	900	100	11	10	358	0.089	0.086	6.284	7.088
10-67-5	900	100	11	10	370	0.090	0.082	6.284	7.077
10-67-6	900	100	11	10	345	0.086	0.087	6.278	7.087
10-67-7	900	100	11	10	357	0.088	0.084	6.284	7.090
10-67-8	900	100	11	10	352	0.088	0.086	6.284	7.093
10-67-9	900	100	11	10	351	0.087	0.087	6.274	7.090
10-67-10	900	100	11	10	362	0.094	0.089	6.281	7.070
10-67-11	900	100	11	10	352	0.087	0.088	6.284	7.098
10-67-12	900	100	11	10	359	0.087	0.082	6.278	7.066
10-67-13	900	100	11	10	363	0.090	0.083	6.284	7.076
10-67-14	900	100	11	10	364	0.090	0.083	6.282	7.071
Average	900	100	11	10	359	0.090	0.085	6.298	7.08

Πίνακας 6.4.3.α: Στατιστικά στοιχεία εκτέλεσης προβλημάτων qcp_1.

QCP	Cons	Vars	Doms	Max Dom Size	Dels	Time AC-3	Time AC-4	Mem AC-3	Mem AC-4
15-120-0	3150	225	16	15	1269	1.236	0.473	56.611	61.436
15-120-1	3150	225	16	15	1295	1.274	0.444	56.364	61.242
15-120-2	3150	225	16	15	1276	1.259	0.456	56.366	61.274
15-120-3	3150	225	16	15	1294	1.260	0.455	56.356	61.255
15-120-4	3150	225	16	15	1283	1.245	0.454	56.361	61.273
15-120-5	3150	225	16	15	1317	1.295	0.436	56.355	61.174
15-120-6	3150	225	16	15	1298	1.266	0.445	56.366	61.216
15-120-7	3150	225	16	15	1296	1.230	0.448	56.355	61.255
15-120-8	3150	225	16	15	1286	1.238	0.456	56.360	61.241
15-120-9	3150	225	16	15	1298	1.269	0.452	56.361	61.209
15-120-10	3150	225	16	15	1288	1.262	0.453	56.366	61.289
15-120-11	3150	225	16	15	1302	1.264	0.442	56.356	61.185
15-120-12	3150	225	16	15	1283	1.247	0.446	56.355	61.209
15-120-13	3150	225	16	15	1301	1.282	0.439	56.366	61.195
15-120-14	3150	225	16	15	1293	1.266	0.444	56.368	61.236
Average	3150	225	16	15	1291	1.260	0.450	56.378	61.246

Πίνακας 6.4.3.β: Στατιστικά στοιχεία εκτέλεσης προβλημάτων qcp_2.

QCP	Cons	Vars	Doms	Max Dom Size	Dels	Time AC-3	Time AC-4	Mem AC-3	Mem AC-4
20-187-0	7600	400	21	20	2912	8.956	1.840	309.84	344.86
20-187-1	7600	400	21	20	2894	8.899	1.892	309.23	345.184

20-187-2	7600	400	21	20	2928	9.222	1.848	309.23	345.65
20-187-3	7600	400	21	20	2922	9.431	1.958	309.23	345.79
20-187-4	7600	400	21	20	2942	9.733	1.854	309.23	345.73
20-187-5	7600	400	21	20	2893	9.512	2.018	309.23	345.91
20-187-6	7600	400	21	20	2925	9.162	1.995	309.23	345.38
20-187-7	7600	400	21	20	2924	9.648	1.870	309.23	345.82
20-187-8	7600	400	21	20	2900	9.312	1.963	309.23	345.73
20-187-9	7600	400	21	20	2927	9.210	1.929	309.23	345.63
20-187-10	7600	400	21	20	2937	8.549	1.834	309.23	345.53
20-187-11	7600	400	21	20	2913	9.110	1.926	309.23	345.87
20-187-12	7600	400	21	20	2932	8.985	2.001	309.23	345.92
20-187-13	7600	400	21	20	2971	9.143	1.911	309.23	345.64
20-187-14	7600	400	21	20	2911	9.445	1.881	309.23	345.838
Average	7600	400	21	20	2922	9.221	1.915	309.27	345.63

Πίνακας 6.4.3.γ: Στατιστικά στοιχεία εκτέλεσης προβλημάτων qcp_3.

QCP	Cons	Vars	Doms	Max Dom Size	Dels	Time AC-3	Time AC-4	Mem AC-3	Mem AC-4
25-264-0	15000	625	26	25	5449	73.27	7.13	1089.8	1156.9
25-264-1	15000	625	26	25	5419	71.34	5.80	1088.1	1155.9
25-264-2	15000	625	26	25	5431	69.69	6.40	1088.2	1137.2
25-264-3	15000	625	26	25	5437	71.11	5.83	1088.1	1155.4
25-264-4	15000	625	26	25	5439	71.92	6.39	1088.2	1137.1
25-264-5	15000	625	26	25	5439	70.87	5.82	1088.1	1156.02
25-264-6	15000	625	26	25	5404	72.26	6.43	1088.2	1137.2

25-264-7	15000	625	26	25	5399	71.19	6.07	1088.1	1155.7
25-264-8	15000	625	26	25	5440	74.86	6.52	1088.2	1137.0
25-264-9	15000	625	26	25	5433	76.29	5.98	1088.1	1156.5
25-264-10	15000	625	26	25	5406	75.19	7.28	1088.2	1137.3
25-264-11	15000	625	26	25	5381	76.01	6.15	1088.1	1156.8
25-264-12	15000	625	26	25	5352	75.22	6.50	1088.2	1137.4
25-264-13	15000	625	26	25	5392	70.68	5.83	1088.1	1156.9
25-264-14	15000	625	26	25	5451	69.12	6.40	1088.2	1137.2
Average	15000	625	26	25	5418	72.61	6.30	1088.3	1147.4

Πίνακας 6.4.3.δ: Στατιστικά στοιχεία εκτέλεσης προβλημάτων qcp_4.

```

General Output
Checking problem:          qcp-10-67-0_ext :
Number of variables:      100
Number of constraints:    900
Number of domains:       11
Max domain values:       10
Initial value:           0
Final Value:             9

Average consistency checking time for AC-3: 0.04634 seconds
Average maximum memory usage for AC-3:     6.266 megabytes
Average number of values deleted by AC-3:   703
Average number of checks performed by AC-3: 3

Average consistency checking time for AC-4: 0.02916 seconds
Average maximum memory usage for AC-4:     6.667 megabytes
Average number of values deleted by AC-4:   703
Average number of counts performed by AC-4: 2

```

Σχήμα 6.4.3.α: Στατιστικά στοιχεία εκτέλεσης προβλήματος qcp-10-67-0_ext.

```

General Output
Checking problem:          qcp-15-120-0_ext :
Number of variables:      225
Number of constraints:    3150
Number of domains:       16
Max domain values:       15
Initial value:           0
Final Value:             14

```

```

Average consistency checking time for AC-3: 0.37462 seconds
Average maximum memory usage for AC-3:    56.248 megabytes
Average number of values deleted by AC-3:  1905
Average number of checks performed by AC-3: 496

Average consistency checking time for AC-4: 0.15283 seconds
Average maximum memory usage for AC-4:    59.212 megabytes
Average number of values deleted by AC-4:  1905
Average number of counts performed by AC-4: 122

```

Σχήμα 6.4.3.β: Στατιστικά στοιχεία εκτέλεσης προβλήματος qcp-15-120-0_ext

6.4.4 Τα Προβλήματα QWH.

Τα προβλήματα QWH χωρίζονται σε τέσσερις υποκατηγορίες. Καθεμία από αυτές έχει διαφορετικό αριθμό περιορισμών, μεταβλητών, πεδίων ορισμού και μέγεθος μέγιστου πεδίου ορισμού. Με την εκτέλεση των προβλημάτων που ανήκουν σε αυτές τις υποκατηγορίες ,επαληθεύτηκαν τα συμπεράσματα που προέκυψαν από την εκτέλεση και των προβλημάτων QCP. Δηλαδή ,καθώς ο αριθμός των μεταβλητών ξεπερνά τις μερικές εκατοντάδες και ο αριθμός των περιορισμών ξεπερνά τις μερικές χιλιάδες ,ο αλγόριθμος AC-3 φανερά πετυχαίνει αισθητά χειρότερο χρόνο εκτέλεσης απ’ότι ο AC-4. Φυσικά ο AC-3 έχει πάντα λιγότερη χρήση μνήμης από τον AC-4. Και οι δύο αλγόριθμοι καταφέρνουν να διαγράψουν τον ίδιο αριθμό τιμών από τα πεδία ορισμού των μεταβλητών.

QWH	Cons	Vars	Doms	Max Dom Size	Dels	Time AC-3	Time AC-4	Mem AC-3	Mem AC-4
10-57-0	900	100	11	10	385	0.099	0.067	6.535	6.919
10-57-1	900	100	11	10	377	0.091	0.062	6.276	6.925
10-57-2	900	100	11	10	379	0.089	0.062	6.276	6.933
10-57-3	900	100	11	10	380	0.089	0.058	6.276	6.921
10-57-4	900	100	11	10	369	0.088	0.057	6.276	6.933
10-57-5	900	100	11	10	374	0.090	0.056	6.276	6.923

10-57-6	900	100	11	10	366	0.091	0.060	6.276	6.937
10-57-7	900	100	11	10	382	0.092	0.055	6.268	6.919
10-57-8	900	100	11	10	364	0.087	0.057	6.277	6.922
10-57-9	900	100	11	10	345	0.083	0.061	6.276	6.943
Average	900	100	11	10	372	0.090	0.060	6.301	6.927

Πίνακας 6.4.4.α: Στατιστικά στοιχεία εκτέλεσης προβλημάτων qwh_1.

QWH	Cons	Vars	Doms	Max Dom Size	Dels	Time AC-3	Time AC-4	Mem AC-3	Mem AC-4
15-106-0	3150	225	16	15	1204	1.147	0.354	56.60	63.52
15-106-1	3150	225	16	15	1178	1.118	0.351	56.35	63.56
15-106-2	3150	225	16	15	1221	1.133	0.335	56.35	63.51
15-106-3	3150	225	16	15	1170	1.087	0.350	56.35	63.58
15-106-4	3150	225	16	15	1214	1.159	0.330	56.34	63.50
15-106-5	3150	225	16	15	1194	1.123	0.336	56.35	63.53
15-106-6	3150	225	16	15	1178	1.111	0.345	56.35	63.57
15-106-7	3150	225	16	15	1197	1.133	0.342	56.35	63.53
15-106-8	3150	225	16	15	1223	1.160	0.335	56.35	63.51
15-106-9	3150	225	16	15	1189	1.114	0.349	56.34	63.56
Average	3150	225	16	15	1196	1.128	0.343	56.38	63.53

Πίνακας 6.4.4.β: Στατιστικά στοιχεία εκτέλεσης προβλημάτων qwh_2.

QWH	Cons	Vars	Doms	Max Dom Size	Dels	Time AC-3	Time AC-4	Mem AC-3	Mem AC-4
20-166-0	7600	400	21	20	2674	8.077	1.550	309.8	331.2

20-166-1	7600	400	21	20	2690	8.931	1.426	309.2	335.2
20-166-2	7600	400	21	20	2647	8.255	1.454	309.2	336.1
20-166-3	7600	400	21	20	2691	8.084	1.428	309.2	335.4
20-166-4	7600	400	21	20	2694	8.562	1.419	309.2	335.1
20-166-5	7600	400	21	20	2686	8.427	1.448	309.2	334.9
20-166-6	7600	400	21	20	2681	8.392	1.419	309.2	335.9
20-166-7	7600	400	21	20	2681	7.971	1.454	309.2	335.4
20-166-8	7600	400	21	20	2654	8.203	1.493	309.2	335.1
20-166-9	7600	400	21	20	2715	8.614	1.393	309.2	334.8
Average	7600	400	21	20	2681	8.352	1.448	309.3	334.9

Πίνακας 6.4.4.γ: Στατιστικά στοιχεία εκτέλεσης προβλημάτων qwh_3.

QWH	Cons	Vars	Doms	Max Dom Size	Dels	Time AC-3	Time AC-4	Mem AC-3	Mem AC-4
25-235-0	15000	625	26	25	4947	60.72	4.70	1089.8	1154.2
25-235-1	15000	625	26	25	4956	62.323	5.44	1088.2	1134.3
25-235-2	15000	625	26	25	4921	61.94	4.50	1088.1	1154.2
25-235-3	15000	625	26	25	4960	64.64	5.34	1088.2	1134.4
25-235-4	15000	625	26	25	4929	64.89	4.65	1088.1	1154.0
25-235-5	15000	625	26	25	4959	64.62	5.26	1088.2	1134.4
25-235-6	15000	625	26	25	4930	62.05	4.50	1088.1	1154.2
25-235-7	15000	625	26	25	4944	62.85	5.11	1088.2	1134.4
25-235-8	15000	625	26	25	4925	62.24	4.47	1088.1	1134.5
25-235-9	15000	625	26	25	4963	59.13	5.00	1088.2	1134.4
Average	15000	625	26	25	4943	62.54	4.90	1088.3	1142.3

Πίνακας 6.4.4.δ: Στατιστικά στοιχεία εκτέλεσης προβλημάτων qwh_4.

```
General Output
Checking problem:          qwh-20-166-0_ext :
Number of variables:      400
Number of constraints:    7600
Number of domains:        21
Max domain values:        20
Initial value:            0
Final Value:              19

Average consistency checking time for AC-3: 1.90412 seconds
Average maximum memory usage for AC-3:     309.124 megabytes
Average number of values deleted by AC-3:   3554
Average number of checks performed by AC-3: 250

Average consistency checking time for AC-4: 0.51787 seconds
Average maximum memory usage for AC-4:     321.634 megabytes
Average number of values deleted by AC-4:   3554
Average number of counts performed by AC-4: 44
```

Σχήμα 6.4.4.α: Στατιστικά στοιχεία εκτέλεσης προβλήματος qwh-20-166-0_ext

```
General Output
Checking problem:          qwh-25-235-9_ext :
Number of variables:      625
Number of constraints:    15000
Number of domains:        26
Max domain values:        25
Initial value:            0
Final Value:              24

Average consistency checking time for AC-3: 13.14397 seconds
Average maximum memory usage for AC-3:     1088.126 megabytes
Average number of values deleted by AC-3:   6265
Average number of checks performed by AC-3: 676

Average consistency checking time for AC-4: 2.1442 seconds
Average maximum memory usage for AC-4:     1125.804 megabytes
Average number of values deleted by AC-4:   6265
Average number of counts performed by AC-4: 102
```

Σχήμα 6.4.4.β: Στατιστικά στοιχεία εκτέλεσης προβλήματος qwh-25-235-9_ext

6.4.5 Τα Προβλήματα LANGFORD.

Τα προβλήματα LANGFORD που εξετάστηκαν έχουν μικρό αριθμό περιορισμών, μεταβλητών και πεδίων ορισμού. Επίσης παρουσιάζουν συνέπεια τόξου από την αρχή. Με την εκτέλεση των αλγορίθμων προκύπτει ξεκάθαρα ότι ο αλγόριθμος AC-3 πετυχαίνει πολύ

καλύτερα χρονικά αποτελέσματα σε σύγκριση με τον AC-4 ,όταν τα προβλήματα παρουσιάζουν από την αρχή συνέπεια τόξου. Αυτό οφείλεται στο γεγονός ότι ο αλγόριθμος AC-4 σπαταλάει πολύ χρόνο κατά την διαδικασία της αρχικοποίησης, γεγονός που στην συγκεκριμένη περίπτωση είναι σημαντικό χρονικό σφάλμα. Επίσης ο AC-3 χρησιμοποιεί πολύ λιγότερη μνήμη συγκριτικά με τον AC-4. Και οι δύο αλγόριθμοι καταφέρνουν να διαγράψουν τον ίδιο αριθμό τιμών από τα πεδία ορισμού των μεταβλητών.

LANGFORD	Cons	Vars	Doms	Max	Dels	Time	Time	Mem	Mem	
				Dom		AC-3	AC-4	AC-3	AC-4	
				Size						
2-4	32	8	1	8	0	0.014	0.022	0.33	0.56	
3-9	369	27	1	27	0	0.023	4.726	2.67	7.72	
3-11	550	33	1	33	0	0.028	16.90	5.42	17.11	
slangford-3-11	572	33	1	33	0	0.028	16.92	5.42	17.11	
Average	381	25	1	25	0	0.023	9.64	3.52	10.57	

Πίνακας 6.4.5.α: Στατιστικά στοιχεία εκτέλεσης προβλημάτων langford.

6.4.6 Τα Προβλήματα COMPOSED.

Τα προβλήματα COMPOSED χωρίζονται σε εννιά υποκατηγορίες. Καθεμία από αυτές έχει διαφορετικό αριθμό περιορισμών και ίδιο αριθμό μεταβλητών, πεδίων ορισμού και μεγέθους μέγιστου πεδίου ορισμού. Επίσης στα αποτελέσματα που ακολουθούν φαίνεται ότι οι διαγραφές που έγιναν είναι αρκετά λίγες. Αυτό φανερώνει ότι τα προβλήματα composed που εξετάστηκαν ήταν εξ αρχής πολύ κοντά στη συνέπεια τόξου. Αυτό το στοιχείο σε συνδυασμό με το μικρό αριθμό των παραμέτρων αυτού του προβλήματος εξηγεί γιατί ο αλγόριθμος AC-3 πετυχαίνει καλύτερο χρόνο εκτέλεσης απ'ότι ο AC-4. Φυσικά ο AC-3 έχει πάντα λιγότερη χρήση μνήμης από τον AC-4. Και οι δύο αλγόριθμοι καταφέρνουν να διαγράψουν τον ίδιο αριθμό τιμών από τα πεδία ορισμού των μεταβλητών.

COMPOSED	Cons	Vars	Doms	Max Dom Size	Dels	Time AC-3	Time AC-4	Mem AC-3	Mem AC-4
25-1-2-0	224	33	1	10	8	0.021	0.100	1.196	1.310
25-1-2-1	224	33	1	10	14	0.020	0.096	0.935	1.309
25-1-2-2	224	33	1	10	3	0.018	0.090	0.935	1.311
25-1-2-3	224	33	1	10	9	0.020	0.090	0.935	1.309
25-1-2-4	224	33	1	10	1	0.018	0.091	0.935	1.310
25-1-2-5	224	33	1	10	10	0.019	0.091	0.935	1.309
25-1-2-6	224	33	1	10	9	0.018	0.093	0.935	1.309
25-1-2-7	224	33	1	10	3	0.019	0.091	0.935	1.310
25-1-2-8	224	33	1	10	7	0.019	0.091	0.935	1.310
25-1-2-9	224	33	1	10	3	0.019	0.091	0.935	1.313
Average	224	33	1	10	6	0.019	0.092	0.961	1.310

Πίνακας 6.4.6.α: Στατιστικά στοιχεία εκτέλεσης προβλημάτων composed_1.

COMPOSED	Cons	Vars	Doms	Max Dom Size	Dels	Time AC-3	Time AC-4	Mem AC-3	Mem AC-4
25-1-25-0	247	33	1	10	8	0.025	0.116	1.199	1.351
25-1-25-1	247	33	1	10	14	0.020	0.112	0.935	1.349
25-1-25-2	247	33	1	10	3	0.020	0.106	0.935	1.351
25-1-25-3	247	33	1	10	9	0.020	0.103	0.935	1.349
25-1-25-4	247	33	1	10	1	0.019	0.103	0.935	1.349
25-1-25-5	247	33	1	10	10	0.021	0.105	0.935	1.349
25-1-25-6	247	33	1	10	9	0.021	0.105	0.935	1.349

25-1-25-7	247	33	1	10	3	0.021	0.105	0.935	1.350
25-1-25-8	247	33	1	10	7	0.021	0.104	0.935	1.350
25-1-25-9	247	33	1	10	3	0.020	0.108	0.935	1.352
Average	247	33	1	10	6	0.021	0.107	0.962	1.350

Πίνακας 6.4.6.β: Στατιστικά στοιχεία εκτέλεσης προβλημάτων composed_2.

COMPOSED	Cons	Vars	Doms	Max Dom Size	Dels	Time AC-3	Time AC-4	Mem AC-3	Mem AC-4
25-1-40-0	262	33	1	10	8	0.020	0.122	1.202	1.377
25-1-40-0	262	33	1	10	14	0.017	0.121	0.935	1.374
25-1-40-0	262	33	1	10	3	0.017	0.112	0.935	1.378
25-1-40-0	262	33	1	10	9	0.016	0.115	0.935	1.375
25-1-40-0	262	33	1	10	1	0.015	0.113	0.935	1.376
25-1-40-0	262	33	1	10	10	0.015	0.112	0.935	1.375
25-1-40-0	262	33	1	10	9	0.016	0.109	0.935	1.376
25-1-40-0	262	33	1	10	3	0.017	0.113	0.935	1.377
25-1-40-0	262	33	1	10	7	0.015	0.114	0.935	1.375
25-1-40-0	262	33	1	10	3	0.016	0.115	0.935	1.379
Average	262	33	1	10	6	0.016	0.115	0.962	1.376

Πίνακας 6.4.6.γ: Στατιστικά στοιχεία εκτέλεσης προβλημάτων composed_3.

COMPOSED	Cons	Vars	Doms	Max Dom Size	Dels	Time AC-3	Time AC-4	Mem AC-3	Mem AC-4
25-1-80-0	302	33	1	10	8	0.023	0.155	1.197	1.446
25-1-80-1	302	33	1	10	14	0.020	0.147	0.935	1.444

25-1-80-2	302	33	1	10	3	0.021	0.138	0.935	1.447
25-1-80-3	302	33	1	10	9	0.019	0.139	0.935	1.445
25-1-80-4	302	33	1	10	1	0.020	0.140	0.935	1.445
25-1-80-5	302	33	1	10	10	0.020	0.139	0.935	1.444
25-1-80-6	302	33	1	10	9	0.019	0.142	0.935	1.446
25-1-80-7	302	33	1	10	3	0.021	0.140	0.935	1.447
25-1-80-8	302	33	1	10	7	0.019	0.138	0.935	1.445
25-1-80-9	302	33	1	10	3	0.019	0.139	0.935	1.448
Average	302	33	1	10	8	0.020	0.142	0.962	1.446

Πίνακας 6.4.6.δ: Στατιστικά στοιχεία εκτέλεσης προβλημάτων composed_4.

COMPOSED	Cons	Vars	Doms	Max Dom Size	Dels	Time AC-3	Time AC-4	Mem AC-3	Mem AC-4
25-10-20-0	620	105	1	10	1	0.035	0.254	7.15	8.230
25-10-20-1	620	105	1	10	2	0.031	0.255	6.886	8.232
25-10-20-2	620	105	1	10	0	0.030	0.247	6.886	8.236
25-10-20-3	620	105	1	10	3	0.031	0.244	6.886	8.235
25-10-20-4	620	105	1	10	2	0.032	0.243	6.886	8.231
25-10-20-5	620	105	1	10	4	0.031	0.244	6.886	8.232
25-10-20-6	620	105	1	10	3	0.030	0.240	6.886	8.237
25-10-20-7	620	105	1	10	2	0.030	0.246	6.886	8.229
25-10-20-8	620	105	1	10	2	0.031	0.243	6.886	8.229
25-10-20-9	620	105	1	10	3	0.029	0.245	6.886	8.231
Average	620	105	1	10	2	0.031	0.246	6.912	8.232

Πίνακας 6.4.6.ε: Στατιστικά στοιχεία εκτέλεσης προβλημάτων composed_5.

COMPOSED	Cons	Vars	Doms	Max Dom Size	Dels	Time AC-3	Time AC-4	Mem AC-3	Mem AC-4
75-1-2-0	624	83	1	10	12	0.031	0.275	4.681	5.691
75-1-2-1	624	83	1	10	6	0.028	0.277	4.421	5.695
75-1-2-2	624	83	1	10	6	0.026	0.271	4.421	5.695
75-1-2-3	624	83	1	10	5	0.025	0.268	4.421	5.699
75-1-2-4	624	83	1	10	20	0.026	0.269	4.421	5.696
75-1-2-5	624	83	1	10	5	0.028	0.267	4.421	5.694
75-1-2-6	624	83	1	10	2	0.026	0.266	4.421	5.693
75-1-2-7	624	83	1	10	11	0.026	0.269	4.421	5.694
75-1-2-8	624	83	1	10	9	0.027	0.267	4.421	5.695
75-1-2-9	624	83	1	10	5	0.026	0.267	4.421	5.701
Average	624	83	1	10	8	0.0275	0.270	4.447	5.695

Πίνακας 6.4.6.στ: Στατιστικά στοιχεία εκτέλεσης προβλημάτων composed_6.

COMPOSED	Cons	Vars	Doms	Max Dom Size	Dels	Time AC-3	Time AC-4	Mem AC-3	Mem AC-4
75-1-25-0	647	83	1	10	12	0.029	0.287	4.686	5.733
75-1-25-1	647	83	1	10	6	0.026	0.283	4.421	5.737
75-1-25-2	647	83	1	10	6	0.024	0.277	4.421	5.74
75-1-25-3	647	83	1	10	5	0.022	0.276	4.421	5.743
75-1-25-4	647	83	1	10	20	0.023	0.276	4.421	5.747
75-1-25-5	647	83	1	10	5	0.025	0.278	4.421	5.735
75-1-25-6	647	83	1	10	2	0.023	0.280	4.421	5.734

75-1-25-7	647	83	1	10	11	0.022	0.279	4.421	5.738
75-1-25-8	647	83	1	10	9	0.022	0.277	4.421	5.738
75-1-25-9	647	83	1	10	5	0.023	0.281	4.421	5.744
Average	647	83	1	10	8	0.024	0.279	4.448	5.739

Πίνακας 6.4.6.ζ: Στατιστικά στοιχεία εκτέλεσης προβλημάτων composed_7.

COMPOSED	Cons	Vars	Doms	Max Dom Size	Dels	Time AC-3	Time AC-4	Mem AC-3	Mem AC-4
75-1-25-0	662	83	1	10	12	0.029	0.296	4.686	5.780
75-1-25-0	662	83	1	10	6	0.025	0.293	4.421	5.777
75-1-25-0	662	83	1	10	6	0.025	0.288	4.421	5.763
75-1-25-0	662	83	1	10	5	0.023	0.285	4.421	5.773
75-1-25-0	662	83	1	10	20	0.028	0.288	4.421	5.787
75-1-25-0	662	83	1	10	5	0.023	0.289	4.421	5.778
75-1-25-0	662	83	1	10	2	0.023	0.287	4.421	5.762
75-1-25-0	662	83	1	10	11	0.024	0.285	4.421	5.778
75-1-25-0	662	83	1	10	9	0.025	0.289	4.421	5.766
75-1-25-0	662	83	1	10	5	0.025	0.292	4.421	5.779
Average	662	83	1	10	8	0.025	0.289	4.448	5.774

Πίνακας 6.4.6.η: Στατιστικά στοιχεία εκτέλεσης προβλημάτων composed_8.

COMPOSED	Cons	Vars	Doms	Max Dom Size	Dels	Time AC-3	Time AC-4	Mem AC-3	Mem AC-4
75-1-80-0	702	83	1	10	12	0.033	0.323	4.681	5.939
75-1-80-1	702	83	1	10	6	0.027	0.319	4.420	5.924

75-1-80-2	702	83	1	10	6	0.028	0.314	4.421	5.925
75-1-80-3	702	83	1	10	5	0.029	0.311	4.421	5.927
75-1-80-4	702	83	1	10	20	0.027	0.316	4.421	5.896
75-1-80-5	702	83	1	10	5	0.026	0.312	4.421	5.941
75-1-80-6	702	83	1	10	2	0.025	0.311	4.421	5.93
75-1-80-7	702	83	1	10	11	0.027	0.311	4.421	5.926
75-1-80-8	702	83	1	10	9	0.026	0.310	4.421	5.888
75-1-80-9	702	83	1	10	5	0.028	0.315	4.421	5.936
Average	702	83	1	10	8	0.028	0.314	4.447	5.923

Πίνακας 6.4.6.θ: Στατιστικά στοιχεία εκτέλεσης προβλημάτων composed_9.

6.4.7 Τα Προβλήματα DRIVER.

Στα προβλήματα DRIVER βλέπουμε ότι καθώς αυξάνεται ο αριθμός των περιορισμών, των μεταβλητών, των πεδίων ορισμού και του μεγέθους μέγιστου πεδίου ορισμού, ο αλγόριθμος AC-3 τείνει να πετυχαίνει καλύτερα χρονικά αποτελέσματα σε σύγκριση με τον AC-4, παρά τα προγνωστικά που υποστηρίζουν το αντίθετο. Ωστόσο για μία ακόμα φορά αυτό οφείλεται περισσότερο στο γεγονός ότι τα προβλήματα αυτά ήταν εξ αρχής κοντά στην συνέπεια τόξου κι έτσι δεν χρειάστηκε να γίνουν παρά μόνο λίγες διαγραφές τιμών. Φυσικά ο AC-3 έχει πάντα λιγότερη χρήση μνήμης από τον AC-4. Και οι δύο αλγόριθμοι καταφέρνουν να διαγράψουν τον ίδιο αριθμό τιμών από τα πεδία ορισμού των μεταβλητών.

DRIVER	Cons	Vars	Doms	Max Dom Size	Dels	Time AC-3	Time AC-4	Mem AC-3	Mem AC-4
01c	217	71	3	4	18	0.025	0.026	1.34	1.21
02c	4055	301	6	8	64	0.125	0.410	38.35	42.58
04c	3876	272	9	11	108	0.139	0.448	48.32	52.83

05c	6173	351	8	11	59	0.202	0.850	80.24	93.20
08c	9321	408	8	11	21	0.263	1.580	108.3	129.3
08cc	9321	408	8	11	21	0.259	1.550	108.3	129.4
09	17447	650	9	12	162	1.210	6.686	338.8	366.9
Average	7201	352	7	10	64	0.318	1.650	103.3	116.5

Πίνακας 6.4.7.α: Στατιστικά στοιχεία εκτέλεσης προβλημάτων driver.

6.4.8 Τα Προβλήματα BLACKHOLE.

Τα προβλήματα BLACKHOLE χωρίζονται σε τρεις υποκατηγορίες. Καθεμία από αυτές έχει διαφορετικό αριθμό περιορισμών, μεταβλητών και μέγεθος μέγιστου πεδίου ορισμού. Κατά την εκτέλεση αυτών των προβλημάτων επαληθεύεται ξανά ότι καθώς ο αριθμός των μεταβλητών ξεπερνά τις μερικές δεκάδες και ο αριθμός των περιορισμών ξεπερνά τις μερικές εκατοντάδες, ο αλγόριθμος AC-3 αρχίζει να πετυχαίνει χειρότερο χρόνο εκτέλεσης απ'ότι ο AC-4. Αυτό οφείλεται επίσης στο γεγονός ότι τα προβλήματα αυτά δεν ήταν εξ αρχής κοντά στην συνέπεια τόξου. Φυσικά ο AC-3 έχει πάντα λιγότερη χρήση μνήμης από τον AC-4. Και οι δύο αλγόριθμοι καταφέρνουν να διαγράψουν τον ίδιο αριθμό τιμών από τα πεδία ορισμού των μεταβλητών.

BLACKHOLE	Cons	Vars	Doms	Max	Dels	Time	Time	Mem	Mem
				Dom		AC-3	AC-4	AC-3	AC-4
Size									
4-4-e-0	432	64	4	16	666	0.036	0.032	5.928	5.945
4-4-e-1	432	64	4	16	666	0.032	0.028	5.670	5.945
4-4-e-2	432	64	4	16	666	0.033	0.027	5.670	5.945
4-4-e-3	432	64	4	16	666	0.031	0.030	5.670	5.945
4-4-e-4	432	64	4	16	666	0.031	0.027	5.670	5.945
4-4-e-5	432	64	4	16	666	0.031	0.028	5.670	5.945

4-4-e-6	432	64	4	16	666	0.032	0.027	5.670	5.945
4-4-e-7	432	64	4	16	666	0.031	0.027	5.670	5.945
4-4-e-8	432	64	4	16	666	0.033	0.027	5.670	5.945
4-4-e-9	432	64	4	16	666	0.032	0.027	5.670	5.945
Average	432	64	4	16	666	0.032	0.028	5.696	5.945

Πίνακας 6.4.8.α: Στατιστικά στοιχεία εκτέλεσης προβλημάτων blackhole_1.

BLACKHOLE	Cons	Vars	Doms	Max Dom Size	Dels	Time AC-3	Time AC-4	Mem AC-3	Mem AC-4
4-7-e-0	1262	112	4	28	304	0.214	27.14	45.10	62.15
4-7-e-1	1262	112	4	28	2088	0.171	0.137	44.75	46.16
4-7-e-2	1262	112	4	28	2088	0.172	0.136	44.75	46.16
4-7-e-3	1262	112	4	28	2088	0.170	0.134	44.75	46.16
4-7-e-4	1262	112	4	28	2088	0.173	0.135	44.75	46.16
4-7-e-5	1262	112	4	28	2088	0.171	0.135	44.75	46.16
4-7-e-6	1262	112	4	28	2088	0.171	0.135	44.75	46.16
4-7-e-7	1262	112	4	28	2088	0.170	0.138	44.75	46.16
4-7-e-8	1262	112	4	28	2088	0.172	0.135	44.75	46.16
4-7-e-9	1262	112	4	28	2088	0.170	0.135	44.75	46.16
Average	1262	112	4	28	1909	0.170	2.837	44.78	47.76

Πίνακας 6.4.8.β: Στατιστικά στοιχεία εκτέλεσης προβλημάτων blackhole_2.

BLACKHOLE	Cons	Vars	Doms	Max Dom Size	Dels	Time AC-3	Time AC-4	Mem AC-3	Mem AC-4
4-7-h-0	1262	112	4	28	2088	0.145	0.111	45.10	46.27

4-7-h-1	1262	112	4	28	2088	0.132	0.109	44.86	46.27
4-7-h-2	1262	112	4	28	2088	0.130	0.107	44.86	46.27
4-7-h-3	1262	112	4	28	2088	0.131	0.106	44.86	46.27
4-7-h-4	1262	112	4	28	2088	0.129	0.111	44.86	46.27
4-7-h-5	1262	112	4	28	2088	0.133	0.107	44.86	46.27
4-7-h-6	1262	112	4	28	2088	0.133	0.107	44.86	46.27
4-7-h-7	1262	112	4	28	2088	0.131	0.105	44.86	46.27
4-7-h-8	1262	112	4	28	2088	0.126	0.106	44.86	46.27
4-7-h-9	1262	112	4	28	2088	0.127	0.107	44.86	46.27
Average	1262	112	4	28	2088	0.132	0.108	44.86	46.27

Πίνακας 6.4.8.γ: Στατιστικά στοιχεία εκτέλεσης προβλημάτων blackhole_3.

6.4.9 Τα Προβλήματα HANOI.

Τα προβλήματα QCP έχουν πολύ μικρό αριθμό περιορισμών ,μεταβλητών, πεδίων ορισμού αλλά σχετικά μεγάλο μέγεθος μέγιστου πεδίου ορισμού. Κατά την εκτέλεση αυτών των προβλημάτων γίνεται φανερό ότι καθώς το μέγεθος του μέγιστου πεδίου ορισμού αυξάνεται ο αλγόριθμος AC-4 τείνει να πετυχαίνει χειρότερα χρονικά αποτελέσματα σε σύγκριση με τον AC-3. Αυτό οφείλεται στο γεγονός ότι ο αλγόριθμος AC-4 λειτουργεί πραγματοποιώντας αρκετά ακριβές αρχικοποιήσεις κατά την φάση αρχικοποίησής του. Φυσικά ο AC-3 έχει πάντα λιγότερη χρήση μνήμης από τον AC-4. Και οι δύο αλγόριθμοι καταφέρνουν να διαγράψουν τον ίδιο αριθμό τιμών από τα πεδία ορισμού των μεταβλητών.

HANOI	Cons	Vars	Doms	Max Dom Size	Dels	Time	Time	Mem	Mem
						AC-3	AC-4	AC-3	AC-4
						0.013	0.016	0.658	0.425
0.023	0.033	5.593	5.886						

5	29	30	3	243	5838	0.107	0.290	208.3	211.3
Average	16	17	3	117	2215	0.047	0.113	71.534	72.55

Πίνακας 6.4.9.α: Στατιστικά στοιχεία εκτέλεσης προβλημάτων hanoi.

Κεφάλαιο 7

Συμπεράσματα

Τα κύρια συμπεράσματα της εργασίας αφορούν την αποτελεσματικότητα, και την αποδοτικότητα των αλγορίθμων. Η τελευταία θα αξιολογηθεί με κριτήρια την χωρική αλλά και την χρονική πολυπλοκότητα.

Όσον αφορά την αποτελεσματικότητα των αλγορίθμων, τα αποτελέσματα τις εργασίας επιβεβαιώνουν ότι και οι δύο αλγόριθμοι είναι ικανοί να πετύχουν ακριβώς την ίδια τοπική συνέπια (local consistency) διαγράφοντας ακριβώς τις ίδιες τιμές από τα πεδία τιμών των μεταβλητών που συμμετέχουν στους περιορισμούς.

Όσον αφορά την αποδοτικότητα της χωρικής πολυπλοκότητας, με βάση τα αποτελέσματα τις εκτέλεσης των αλγορίθμων μπορούμε να πούμε ότι ο αλγόριθμος AC-3 πετυχαίνει πάντα καλύτερα αποτελέσματα χρησιμοποιώντας λιγότερη μνήμη. Όμως ισχυρισμός της χωρικής ανάλυσης που θέλει τον αλγόριθμο AC-3 να έχει $O(e)$ χωρική πολυπλοκότητα ενώ τον AC-4 $O(ed^2)$, δεν επιβεβαιώνεται φανερά στα αποτελέσματα της εργασίας.

Η χρήση μνήμης δεν φαίνεται να έχει εκθετική διαφορά μεταξύ των αλγορίθμων. Αυτό ωστόσο οφείλεται στον τρόπο προγραμματιστικής υλοποίησης των αλγορίθμων καθώς και οι δύο αλγόριθμοι χρησιμοποιούν κάποιες κοινές δομές δεδομένων οι οποίες καταναλώνουν και το μεγαλύτερο μέρος της μνήμης που χρησιμοποιούν οι αλγόριθμοι. Αυτές οι δομές είναι οι πίνακες που κρατούν τις μεταβλητές που συμμετέχουν στους περιορισμούς, οι πίνακες που κρατούν τα πεδία ορισμού για κάθε μεταβλητή και οι πίνακες που κρατούν τα ζευγάρια τιμών που ικανοποιούν τους περιορισμούς για κάθε ζευγάρι μεταβλητών.

Όσον αφορά την αποδοτικότητα της χρονικής πολυπλοκότητας, παρά το γεγονός ότι με βάση την χρονική ανάλυση ο αλγόριθμος AC-3 έχει χρόνο χειρότερης εκτέλεσης $O(ed^3)$ ενώ ο AC-4 έχει $O(ed^2)$ (όπου e ο αριθμός των περιορισμών και d ο αριθμός των τιμών του μέγιστου πεδίου ορισμού), αποδείχθηκε ότι ο αλγόριθμος AC-3 καταναλώνει λιγότερο χρόνο

εκτέλεσης για τα προβλήματα που έχουν λίγες μεταβλητές και μικρό μέγιστο πεδίο ορισμού ,σε σύγκριση με τον AC-4. Επίσης ο αλγόριθμος AC-3 πετυχαίνει καλύτερα αποτελέσματα όταν χρησιμοποιείται σε προβλήματα που παρουσιάζουν εξ αρχής συνέπεια τόξου, ή είναι εξ αρχής κοντά στην συνέπεια τόξου, οπότε και οι τελικές διαγραφές τιμών είναι λίγες. Αυτό οφείλεται στο ότι ο AC-3 δεν κάνει αρχικοποιήσεις και προχωράει κατ'ευθείαν στον έλεγχο ασυνεπειών, αποφεύγοντας έτσι να δαπανήσει πολύτιμο χρόνο για ακριβές αρχικοποιήσεις οι οποίες εν προκειμένω δεν παρουσιάζουν ιδιαίτερη χρησιμότητα για προβλήματα μικρών προδιαγραφών καθώς η περίπτωση χειρότερης χρονικής εκτέλεσης συμβαίνει αρχικά συχνά ,προσεγγίζοντας την περίπτωση μέσης χρονικής εκτέλεσης .

Ωστόσο για τα προβλήματα με μεγάλο αριθμό μεταβλητών και μέγιστου πεδίου ορισμού που βρίσκονται εξ αρχής μακριά από την συνέπεια τόξου, οπότε και ο αλγόριθμος AC-4 πραγματοποιεί πολλές διαγραφές τιμών, τα αποτελέσματα της χρονικής ανάλυσης επιβεβαιώνονται περίτρανα και γίνεται φανερό ότι ο αλγόριθμος AC-4 πετυχαίνει καλύτερα χρονικά αποτελέσματα από τον AC-3. Αυτό οφείλεται στο ότι σε τέτοιες περιπτώσεις όντως οι αρχικοποιήσεις αξίζουν τον κόπο γιατί γλιτώνουν τον αλγόριθμο από το να ξαναελέγξει πολλαπλές φορές τις ίδιες τιμές κάποιας μεταβλητής.

Βιβλιογραφία

- [1] Roman Barták, Guide to Constraint Programming, 1998.
- [2] Roman Barták, Guide to Constraint Programming, 1998.
- [3] Christian Bessiere, Constraint Propagation, Technical Report LIRMM 06020 4.2.2, CNRS/University of Montpellier, March 2006
- [4] A.K. Mackworth. Consistency in networks of relations. Technical Report 75-3, Dept. of Computer Science, Univ. of B.C. Vancouver, 1975. (also in Artificial Intelligence 8, 99-118, 1977).
- [5] J.J. McGregor. Relational consistency algorithms and their application in finding subgraph and graph isomorphism. Information Science, 19:229{250, 1979.
- [6] R. Mohr and T.C. Henderson. Arc and path consistency revisited. Artificial Intelligence, 28:225{233, 1986.
- [7] R. Mohr and G. Masini. Good old discrete relaxation. In Proceedings ECAI'88, pages 651{656, Munchen, FRG, 1988.
- [8] Y. Zhang and R.H.C. Yap. Making AC-3 an optimal algorithm. In Proceedings IJCAI'01, pages 316{321, Seattle WA, 2001.

